



مِدْرَسَةُ

المجلد الأول والثاني - المجلد الثالث والأربعون

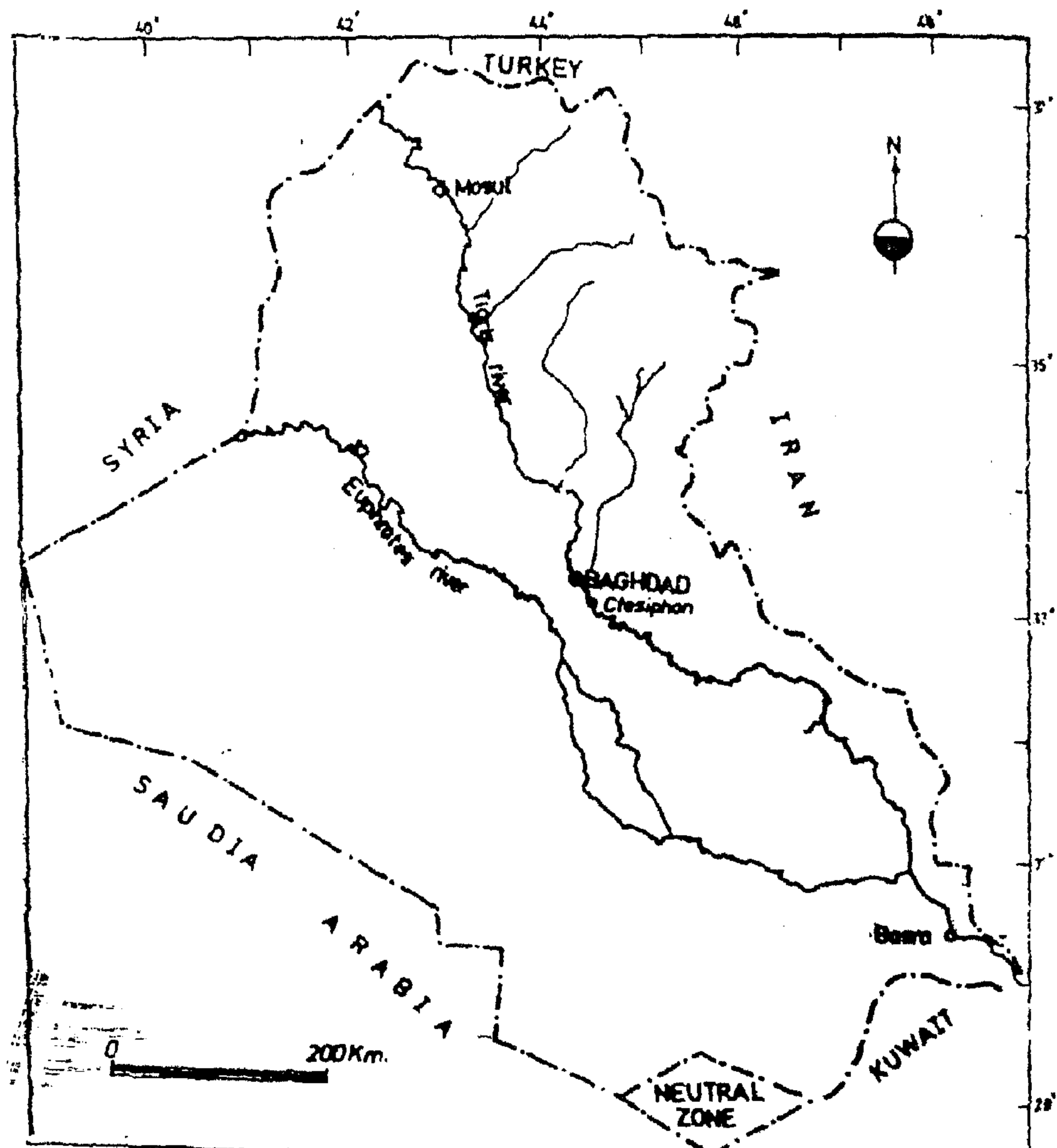
١٩٨٤

تطبيق الطريقة الكهربائية في الكشف عن الآثار في منطقة طيسفون الاثرية

طارق صفاء الدين أحمد بقسم سالم مجید

أستاذ علم الجيوفيزياء كلية العلوم - جامعة بغداد

كلية العلوم - جامعة بغداد



F.g. 1. Location map of the studied area.

الشكل 1، خارطة موقعة للمنطقة المدروسة.

المستخلص

جرى مسح كهربائي لقياس المقاومة النوعية في منطقة طيسفون الاثرية المعروفة بالمدائن، والتي تبعد (30) كم جنوب مدينة بغداد، على الضفة الشرقية من نهر دجلة. لقد تم مسح جميع المسارات المتوجهة شمالاً وجنوباً والتي عددها (48) مساراً باستعمال نظام فنر ذي مسافة متر واحد بين الأقطاب الاربعة. كما جرى مسح (19) مساراً من المجموع الكلي للمسارات باستعمال نفس النظام، بمسافة مترين وثلاثة أمتار بين الأقطاب وعلى التوالي. أظهرت النتائج ان المسافة الاولى أعطت نتائج أكثر وضوحاً من المسافتين الآخرين في المنطقة. استعمل نظامان ثانياً وثالثاً في الأقطاب لبعض المسارات إضافة إلى رابع الأقطاب (متر واحد). اعطي نظام ثالثي القطب نتائج مقاربة إلى تلك التي اعطتها رابع القطب (1 م) وكلاهما أعطيا نتائج أفضل من نظام ثنائي القطب في هذه المنطقة.

أما الجزء الجنوبي من المنطقة فقد تم مسح (19) مساراً باتجاه شرق - غرب (أي عمودية على المسارات السابقة) وباستعمال المسافة (1) متر بين الأقطاب الاربعة المتعاقبة.

درس تأثير التغيرات المناخية على قيم المقاومة النوعية المأخوذة من العقل، وتم مسح المسار (20) في فترتين مختلفتين (أيلول وأذار) وتوصلت للنتائج إلى أن الشذوذ بقي محافظاً على شكله في كلتا الفترتين مع انخفاض في قيم المقاومة النوعية في شهر اذار عما كان عليه في شهر ايلول.

رسمت المخططات لجميع المسارات باستعمال الحاسبة الالكترونية (HP 9830) التابعة لقسم علم الارض - كلية العلوم. كما انجزت خارطة كتورية لقيم المقاومة النوعية (Isoresistivity map) لجميع المنطقة الموسعة، وخارطة أخرى لجزء من المنطقة باتجاه شرق - غرب.

استعملت طريقتان تحليليتان في محاولة لفصل الشوائب المتبقية عن الاقلامية، الطريقة الاولى هي طريقة كرفن (Griffen, 1949)، باستعمال ثلاث دوائر ذات أنصاف قطر مختلفة (511، 871، 2041)، ووجد أن الخارطة الناتجة من استعمال نصف قطر هي أفضل الخرائط الناتجة. أما الطريقة الثانية فهي سلسلة فوريير المزدوجة. رسمت السطوح التوافقية الاولى، الثانية والثالثة في محاولة لفصل الشوائب المتبقية. ووجد أن طبيعة الخارطة الناتجة من استعمال توافقيات أعلى (السطح التواافق الثالث) تقترب كثيراً من الخارطة الاصلية للمقاومة النوعية.

المقدمة

يسعى علم الاثار الى اعادة بناء وتوضيح تطورات العضارة البشرية الماضية، من خلال دراسته للمخلفات المادية. ولتحقيق هذا الهدف يحاول الاثاري ان يستخلص اكبر كمية ممكنة من المعلومات عن هذه

المخلفات والتي تتطلب الكثير من الوقت والجهد، متبنياً الضوابط المتعددة في اسلوب دراسته للحضارة البشرية. لقد لعبت العلوم الطبيعية دوراً مهماً في التحري عن الاثار، لكونها تساعد في تحديد مواقع المواقع الاثرية. وتعتبر الطرق الجيوفيزائية من الطرق المهمة المتعلقة باستعمال التقنيات الخاصة بالتغييرات الفيزيائية للظواهر الاثرية المطمرة.

تستعمل الطرق الجيوفيزائية في تحديد المواقع التي تتطلب معرفة الاشكال الهندسية التي ترافق التوقع الاثري المدفون كالحفر او الخنادق والعواجز او الفوائل التي يكون لها الدليل المباشر في تحديد مكانها وحجمها وعمقها. ان اهم الاعتبارات في اتباع مثل هذا اسلوب الجيوفيزائي هو عدم اجراء حفر او تنقيب، اي تجنب التنقيب الاثاري بطريقة المحاولة والخطأ قبل الحصول على معظم المعلومات العلمية المطلوبة من السطح، وكذلك تستخدم هذه الطريقة في حالة وجود موانع سطحية تحيل عملية الحفر المouri. ان اهمية هذه الطريقة تكمن في توفير الوقت والجهد المبذول للحصول على المعلومات التي تساعد في تحديد الظواهر الاثرية.

تعتبر طريقة المقاومة النوعية الكهربائية احد الطرق الجيوفيزائية المهمة المستعملة في التنقيب عن الاثار، وتعتمد هذه الطريقة في عملها على اي تغيير في التوصيل داخل سطح الارض نتيجة لتسليط نبار كهربائي، وهذه البيانات التحسيطية في التوصيل تغير من شكل ومسار التيار داخل الارض، والذي يؤثر بدوره على توزيع الجهد الكهربائي. ان درجة تغير الجهد المقياس على السطح يعتمد على حجم وشكل وموضع الاجسام التحسيطية ومقاومتها الكهربائية. يتطلب المسح بث او تمرير تيار كهربائي في الارض، بواسطة قطبين معدنيين مثبتين في موقع محددة، وقياس فرق الجهد بين قطبين اخرين، ثم تحسب النسبة ما بين فرق الجهد المسلط الى التيار المستخدم لاستخراج المقاومة النوعية للموقع المحدد للاقطب المستعملة. وبهذه الطريقة تستحصل قيم المقاومة التي تستعمل لتعيين الظواهر الاثرية المدفونة عن عميق يتحدد بطبيعة التوزيع وبعد ما بين الأقطاب المستخدمة، وواهم العوامل المساعدة في تحديد هذه الظواهر باستعمال الطريقة الكهربائية هو الاختلاف في كمية الرطوبة التي تحويها هذه الظواهر الاثرية مقارنة بالترابة المحيطة بها. استخدمت الطريقة الكهربائية لتعيين كلّاً من الظواهر الممتدة (الجدران الاثرية، الطرق، الخنادق والظواهر المنفصلة (الحفر، اتون) (Aitken, 1974) (Tite, 1972)).

يتلخص هدف هذه الدراسة بالتعرف على امكانية استعمال الطريقة الكهربائية في البحوث الحقلية، الخاصة في التحري عن الاثار في العراق التي تمثل التغيرات الخاصة بالدراسات الاثرية (الجدران والحفريات... الخ.) وتطبيق بعض انظمة الاقطب ومحاولات مقارنة وتقدير الطرق التحليلية في معالجة المعلومات الجيوفيزائية في المجال.

أثبتت منطقة طيسفون الاثرية التي تقع جنوب مدينة بغداد لين هذه الطريقة، ولدراسة المقترن الذي يتضمن احتواء المنطقة ، تراكيب اثرية مازالت مدفونة تحت الارض ، لظروف مختلفة وهي امتداد للتراكيب الظاهرة حالياً على السطح .

استعمل جهاز قياس مقاومة التربة Tellohm Soil Resistance ^{measured} مواصفات (110) ذبذبة في الثانية الواحدة في هذه المنطقة . مول على المعلومات المطلوبة والذي يقيس قيم مقاومة مباشرة في بريانية واسعاتها في التعري عن الاثار في العراق لم تجر بعد ، وذلك لعدم صدور اية دراسة في هذا المجال .

صيغ جهاز خاص لربط الاسلاك الكهربائية الى القطب الحديدية بة بالارض من طرف ، والى جهاز قياس مقاومة التربة من الطرف خر ، للحصول على (34) قراءة كحد اعلى عند كل تحويلة (استعمل نظباً حديدياً مثبتاً في الارض) ، وذلك لفرض الاسرع والسيطرة ل كافة المعلومات المستحصلة في النقاط المثبتة في الحقل والتتأكد من سة الترامات المأخوذة عند كل تحويلة .

الدراسات السابقة

كان اتكنسن (Atkinson, 1953) اول من استعمل الطريقة الكهربائية لقياس مقاومة النوعية في التنقيب عن الاثار في دورجستير (Dorchester) ، اوكسفوردشير (Oxfordshire) . وكانت النتائج شجعة ، الا أن صعوبة الحصول على نتائج واضحة في مناطق جديدة دلت الى تأخير استعمال هذه الطريقة بما يقارب العشر سنوات أشار تلك (Tagg, 1957) الى تطبيق هذه الطريقة في منطقة واش (Wash area) التي يصب فيها نهر ويلستريوم (Wellstream) وعلى حدود كلا من لنكولنشاير (Lincolnshire) ونورفوك (Norfolk) والمعرف حالياً باسم نهر النبي (Nene river) .

التي تمت مقارنة النتائج المستحصلة من العمل الحقلبي مع نموذج أعد المختبر .

يوضح بالمر (Palmer, 1960) الى استعمال المسح الكهربائي يحل بعض المعضلات العلمية كأن يجاد بعض اجزاء الجدران المدفونة مواقع اثرية رومانية والتعري عن بعض اجزاء مجرى قناة مطمورة . وضفت النتائج التي حصل عليها بالمر بأن الطريقة الكهربائية بدبرة بالمتابعة وخاصة في تثبيت موقع الشذوذ التي تتركز نتيجة الموارد اثرية مطمورة تحت الارض .

استخدم دانك (Dunk, 1962) أيضاً الطريقة لتعيين معالم ^{villa} الرئيسية في موقع الرومانو برتش فيلا (Rommano British) القائمة على ارض منبسطة ، تم عمل خارطة كنترورية ^{from} المستحصلة من المسح ، واجريت عملية تحديد للشواذ الناتجة عن

وجود مقاومة موضعية تمثل بعض الظواهر الاثرية وفصلها عن التأثيرات الجيولوجية التي تمتد الى مناطق واسعة ، وذلك باستخدام احدى طرق التحليل الترددية وهي طريقة كرفن . ولقد أثبتت النتائج المقدمة من قبله بأن هذه الطريقة جديرة بالاستعمال والمتابعة في موقع آخر .

نشر ريس (Ress, 1962) نتائج عمله باستعمال الطريقة الكهربائية لقياس مقاومة النوعية في موقعين اثاريين الاول في ستافورد شير (Staffordshire) والثاني في بارنسلي بارك (Parnsley park) . لخص فيما تناول دراساته والتي أهمها حصوله على أفضل النتائج عندما تكون درجة التباين كبيرة بين التركيب والمنطقة المحيطة به ، وان القياسات للاقوى النوعية في هذا النوع من التحريرات يتاثر ببرطوبة التربة .

جرى من قبل الجلبي وريس (Al - Chalabi and Ress, 1962) دراسة مفصلة عن المقاومة النوعية الكهربائية وتأثير كمية الامطار عليها ، ونمط هذه الدراسة على احد مواقع الاثار الرومانية ستافورد شير (Staffordshire) .

درس هيس (Hesse, 1966) تأثير التغيرات المناخية على النتائج المترتبة من المقاومة النوعية الظاهرة في مجال علم الاثار لاعماق تتراوح بضعة امتار تحت مستوى سطح الارض ، كما اوضح هيس بأن المقاومة النوعية الظاهرة لهذه التربة القريبة من السطح تتأثر بتعرضها لأشعة الشمس والامطار .

تم انجاز مسحين كهربائيين من قبل ريس ودايت (1969 , Rese & Wright) في فترتين مختلفتين وعلى نفس الموقع الاثري الرومانو برتش في بارنسلي بارك . وتم تحليل النتائج لاعطاء خارطة المقاومة النوعية للشواذ المتبقية ، والتي يمكن تحديد موقع الجدران المدفونة من دراسة الشواذ في هذه الخارطة .

انجزت في عام 1967 ، 1974 مسحات كهربائية من قبل لشنكتن (Linington, 1967, 1974) في موقع اثرية مختلفة احدها في كاديز (Les Magtignous) . أما المسح الاخر تم انجازه في ليس مكينكنس (Bolonia, Cadiz) . أما الموقع الثالث ففي جيوكسلوفاكيا (Czechoslovakia) وقسم العمل فيه الى أربعة مسحات منفصلة خلال الفترة من (17) تموز والى (23) آب 1978 .

انجزت مسحات كهربائية مشابهة من قبل بلانديل وجماعته (Blundell et al, 1974) على موقع اثار رومانية في ووتر كرووك ، كنديل (water crook, kendal) أكدت النتائج المستحصلة على جداره هذه الطريقة .

اما ما يخص تطبيق الطريقة الكهربائية واستعمالاتها في مجال التعري عن الاثار في العراق فلم تصدر اية دراسة او عمل في هنا المجال .

الموقع وجيووجية المنطقة

تقع مدينة طيسفون حوالي (30) كم الى الجنوب من مدينة بغداد وعلى الضفة الشرقية من نهر دجلة، وعند خط طول (35° 44' E - 33° 10' N) كما في الشكل (1) وتقع المنطقة الى الغرب من طاق كسرى.

تقع مدينة طيسفون ضمن منطقة سهل ما بين النهرين اي في منطقة السهل الرسوبي والتي تغطي التربات النهرية للسهل الرسوبي الطبقات الاصدمة والتالعة لعصر ما قبل المايوسين ، والمايوسين ، وعصر البلايوسین الممثلة بتكون الفرات ، ومجموعة فارس ، وتكون البختياري على التتابع . تميّز المنطقة بوجود تراكمات من التربات الفيضانية وترسبات الدلتا ، وترسبات البحيرات التي معظمها من الفرين والطين . (Parson, 1957)

نظرية مسار التيار

تعتبر الارض مكونة من مناطق لها مقاومة نوعية ثابتة تقريباً مفصولة عن مناطق لها مقاومة نوعية مختلفة عنها بواسطة مستويات التي تعتبر عادة الحدود بين الطبقات المختلفة الصفات . ففي تسليط تيار مستمر (I) الى ارض متباينة ومتباينة بواسطة قطبين (A) و (B) كما في الشكل (2) ، فان فرق الجهد (ΔV) بين النقطتين (C,D) يمكن قياسه على السطح باستعمال المعادلة التالية ، (Bhattacharya and Patra, 1968) (Keller, 1967) ،

$$V = \frac{I^P}{2\pi} \left[\left(\frac{1}{AM} - \frac{1}{BM} \right) - \left(\frac{1}{AN} - \frac{1}{BN} \right) \right]$$

$$\rho = 2\pi a \frac{\Delta V}{I} = 2\pi a R$$

حيث أن ρ هي المقاومة النوعية للارض .

اما نظام ثلاثي القطب فيكون بتثبيت أحد الاقطاب التيار على مسافة كبيرة من الاقطاب الثلاثة الباقي كما مبين في الشكل (2) . ويعتبر هذا القطب في ملا نهاية . والاقطاب الثلاثة الباقي تكون متساوية المسافة بينها وتعطى معادلة المقاومة النوعية كما يلي :

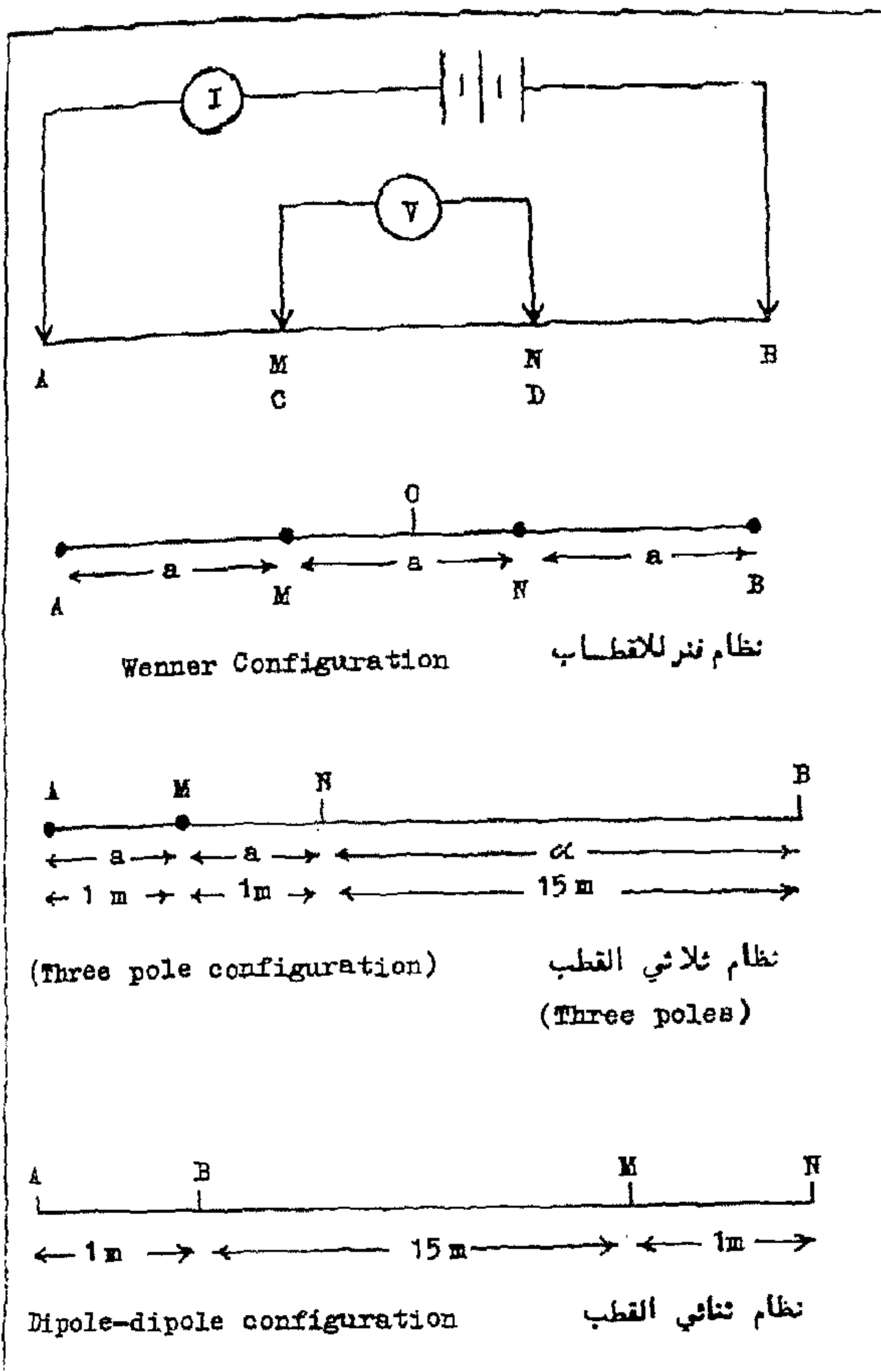
$$\rho = 4\pi a \frac{\Delta V}{I}$$

اما نظام ثنائى القطب فان قطبي التيار تكون متقاربتين من بعضهما ، وكذلك قطبا الجهد كما هو مبين في الشكل (2) . وان المقاومة النوعية المقدمة باستعمال هذا النظام كما يلي :

$$P = \pi \frac{a^3}{b} \left(\frac{\Delta V}{I} \right)$$

العمل الحقل

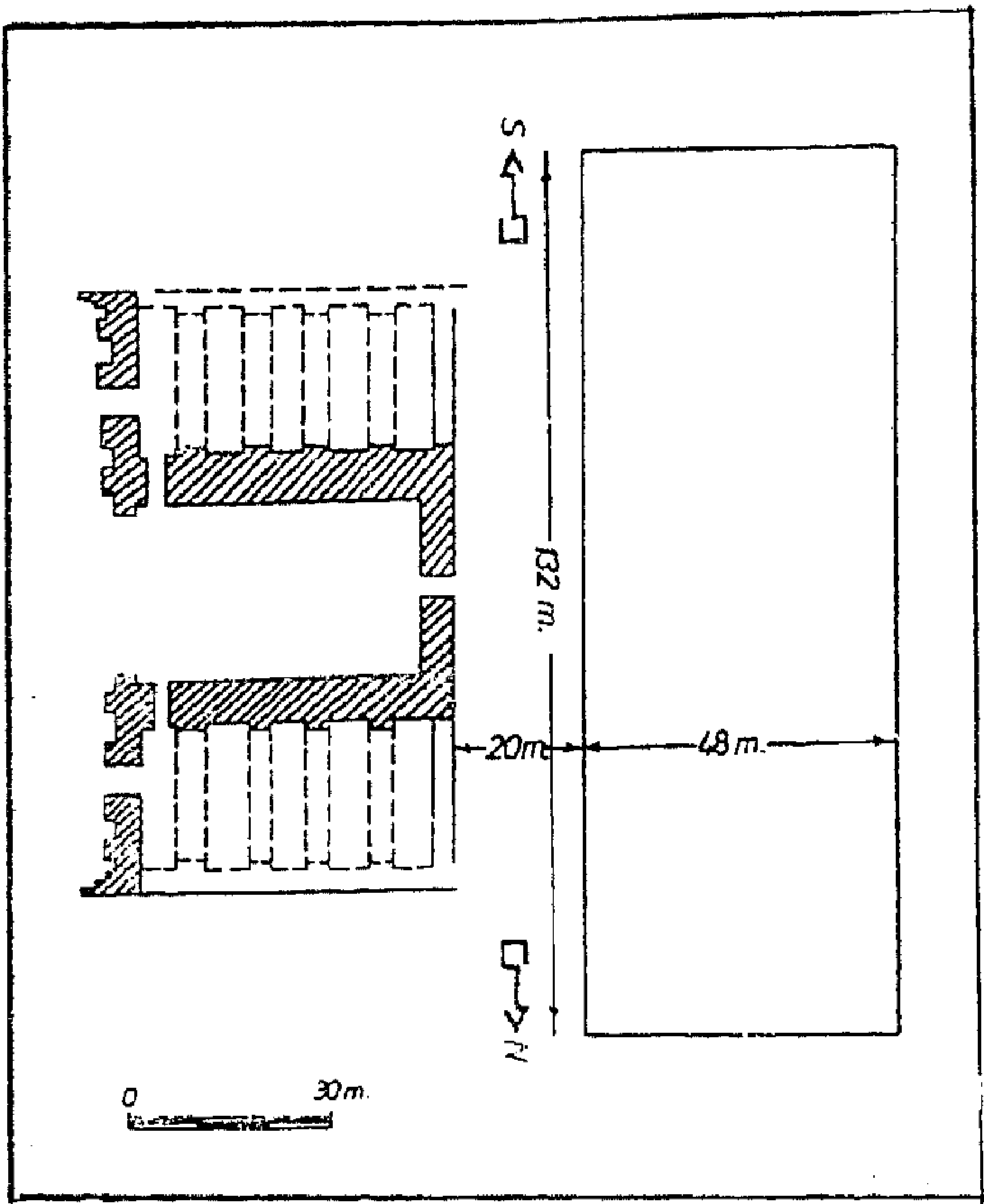
بدأ العمل الحقل في الثامن عشر من شهر آب ، 1980 واستمر حتى الثالث والعشرين من شهر أيلول ، 1980 . ثم بدأ في الثالث من شهر



شكل (2) ، يبيّن الانظمة المختلفة للقطب .

اذار ، 1981 لتكاملة الجزء المتبقى الذي استمر حتى نهاية شهر اذار 1981 ، حيث شمل العمل الحقل في الفقرتين على مسح كهربائي لمنطقة مساحتها (6336) متر مربع قسمت الى (48) مسار اطولاً (132) متر وتجه جميع هذه المسارات من الشمال الى الجنوب وبعد متر واحد عن بعضها البعض . كما مسحت مجموعة أخرى المسارات وعددها (19) طول كل منها (48) متر وتجه جميع شرق - غرب أي عمودية على المسارات السابقة وتقع في الجزء الجنوبي من الخارطة ، كما مبين في الشكل (3) ، (4) .

قسمت المنطقة الى مسارات بواسطة جهاز elescopic Alidade) ، تم المسح باستخدام نظام فنر رباعي الاقطاب بمسافات (1) متر ، (2) متر ، (3) متر بين الاقطاب لمجموعة



الشكل 4 : مخطط يبين موقع المنطقة المدروسة بالنسبة الى الآثار القائمة حالياً في طيسفون .

Fig. 4. Diagram showing the position of the Studied area with respect to the arc of Ctesiphon.

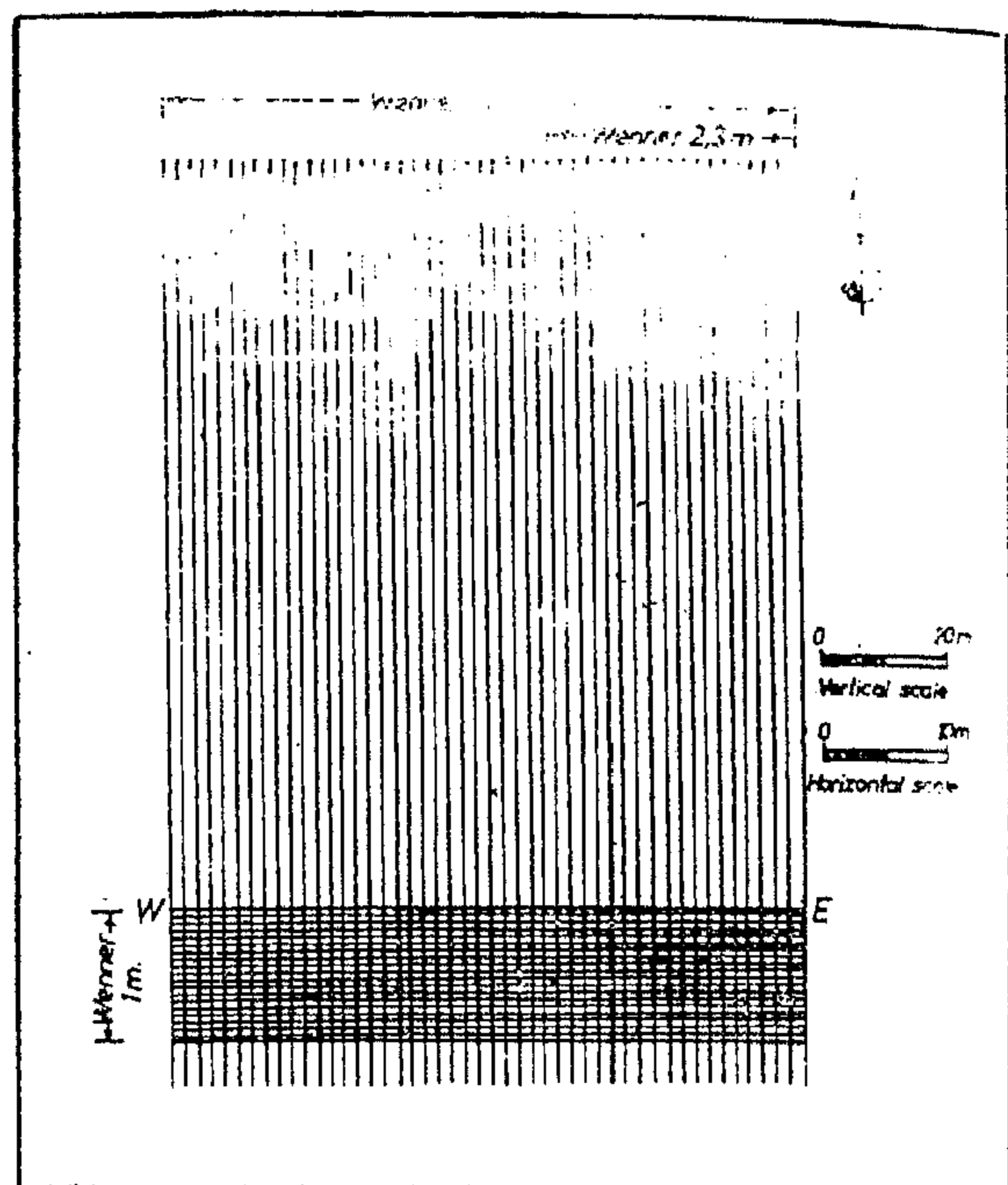
الجدار المدفونة ، على الرغم من أن شكل الشذوذ لا يعتمد فقط على أبعاد وعمق الجدار المدفونة ، بل ويعتمد على اتجاه مجموعة الأقطاب نسبة الى الجدار . فإذا كانت مجموعة الأقطاب الثابتة على المسار موازية الى الجدار ، فإن شكل الشذوذ يكون أقل تعقيداً مما لو كانت موقع الأقطاب عمودية على الجدار .

لقد تم استعمال كلتا الطريقتين السابقتين في هذه المنطقة ، حيث سحت جميع المنطقة بالمسارات المتوجهة شمال - جنوب والتي تكون حركة الأقطاب بها عمودية على بعض التراكيب الأثرية المحتمل وجودها في المنطقة .

وكذلك استعملت الطريقة الثانية لجزء من المنطقة والتي تكون فيها الأقطاب الثابتة على المسارات المتوجهة شرق - غرب موازية الى بعض التراكيب الأثرية المتوقع وجودها في المنطقة .

استعمال نظام فنر بمسافات مختلفة للمسارات المتوجهة شمال - جنوب

يبين الشكل (5) مخطط للمسار (8) الذي مسح ، بنظام فنر وبمسافات (1 ، 2 ، 3) متر . وتمثل القيم الموجودة على المحور السيني المسافة بالامتار ، وقيم المقاومة النوعية على المحور الصادي محسوبة



الشكل 3 : يبين المسارات المسورة للمنطقة
Fig. 3. Diagram showing the surveyed traverses of the studied area.

المسارات وعددها (19) مساراً ، وبمسافة (1) متر لما تبقى من المسارات ، وتم اعادة مسح المسار (20) عند بداية الفترة الثانية من العمل الحقلى في ٣ - ٣ - ١٩٨١ ، لفرض معرفة بعض التأثيرات الناخية على القراءات . تم مسح مسارات معينة باستعمال نظام ثنائي القطب (Dipole-Dipole) وثلاثي القطب (Three pole) اضافة الى نظام فنر رباعي وبمسافة (1) متر لفرض مقارنة النتائج المستحصلة . وضعت قطبي التيار في نظام ثنائي القطب على بعد (1) متر عن بعضهما و (15) متر عن قطبي الجهد التي تبعد عن بعضها (1) متر أيضاً ، كما في الشكل (2) . وتقاس كمية الجهد عند منتصف المسافة بين قطبي الجهد (M) و (N) . أما في حالة نظام ثلاثي القطب وضع أحد اقطار التيار على مسافة (15) متراً من القطب الآخر ، كما في الشكل (2) وتؤخذ قيمة الجهد بين القطبين (M) و (N) .

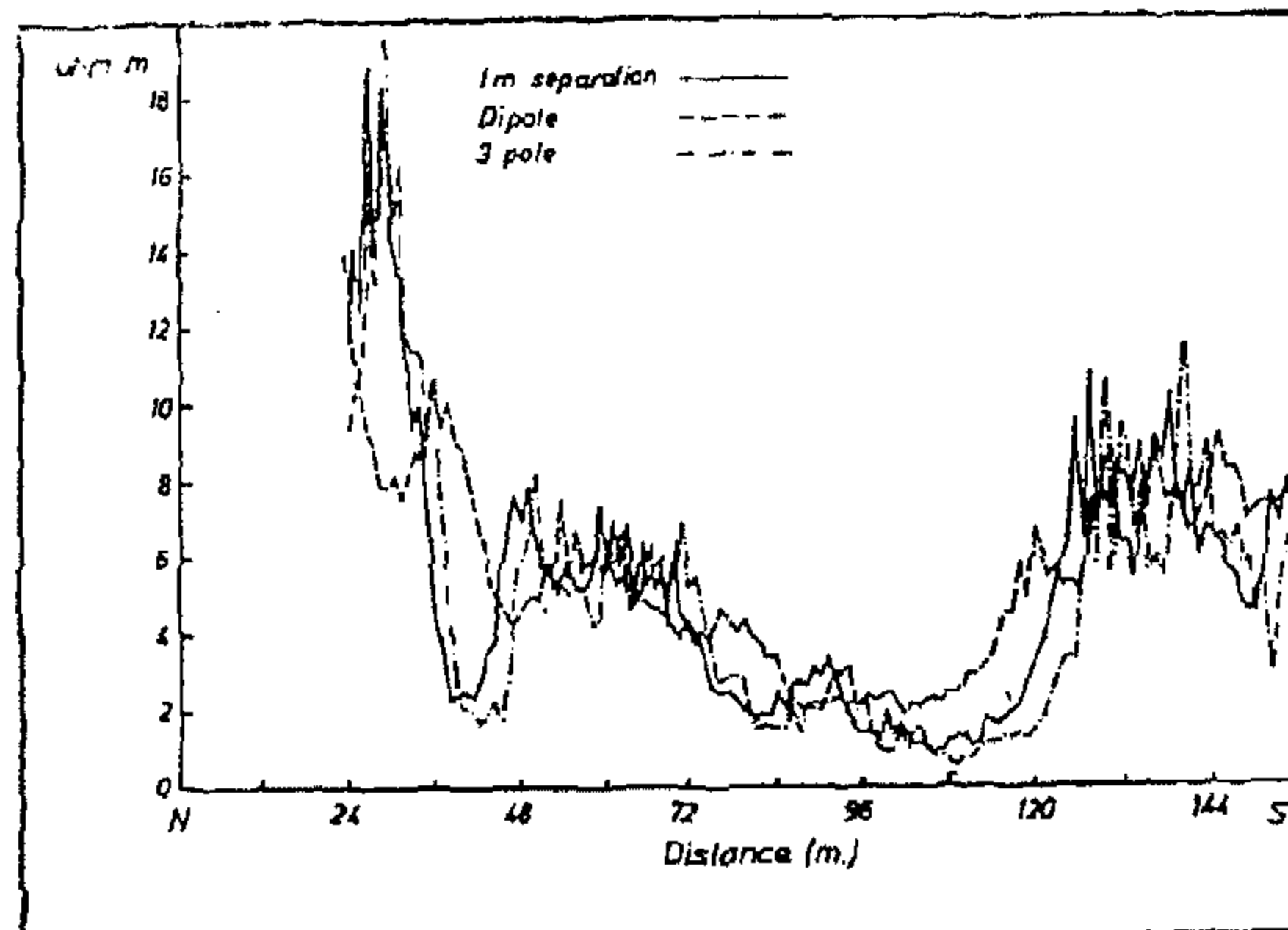
التفسيرات والاستنتاجات

يعتمد المسح الكهربائي لقياس المقاومة النوعية على وجود تباين جيد في المقاومة النوعية للتراكيب الأثرية الممثلة بالجدران وبين التربة المعبطة بها . ان حجر البناء غير السامي للجدران يعطي مقاومة نوعية عالية نسبياً مقارنة مع التربة الرطبة التي تحيط به . لذا فان الشواذ الممتد ذات المقاومة النوعية العالية نسبياً يمكن أن تكون ناتجة عن

سار باستعمال نظام فنر بمسافة (1) متر فقط.

استعمال نظامين ثنائين القطب وثلاثي القطب

رسم مخطط ل احد المسارات . السار (4) التي مسحت باستعمال نظام ثناei القطب كما مبين في الشكل (6). عند مقارنته مع المخطط المرسوم باستعمال نظام فنر بمسافة (1) متر لنفس المسار، نلاحظ أن الشواد ، الظاهرة فيه هي أقل وضوحاً من تلك الظاهرة في مخطط فنر بمسافة (1) متر. كما ورسم مخطط لنفس المسار وباستعمال نظام ثلاثي القطب. ان الشواد الظاهرة في مخطط فنر بمسافة (1) متر لنفس المسار وكلاهما أكثر وضوحاً من الشواد الظاهرة في مخطط ثنائي القطب، كما في الشكل (6). لذا فقد استعمل نظام فنر بمسافة (1) لسع ماتبقى من المنطقة.

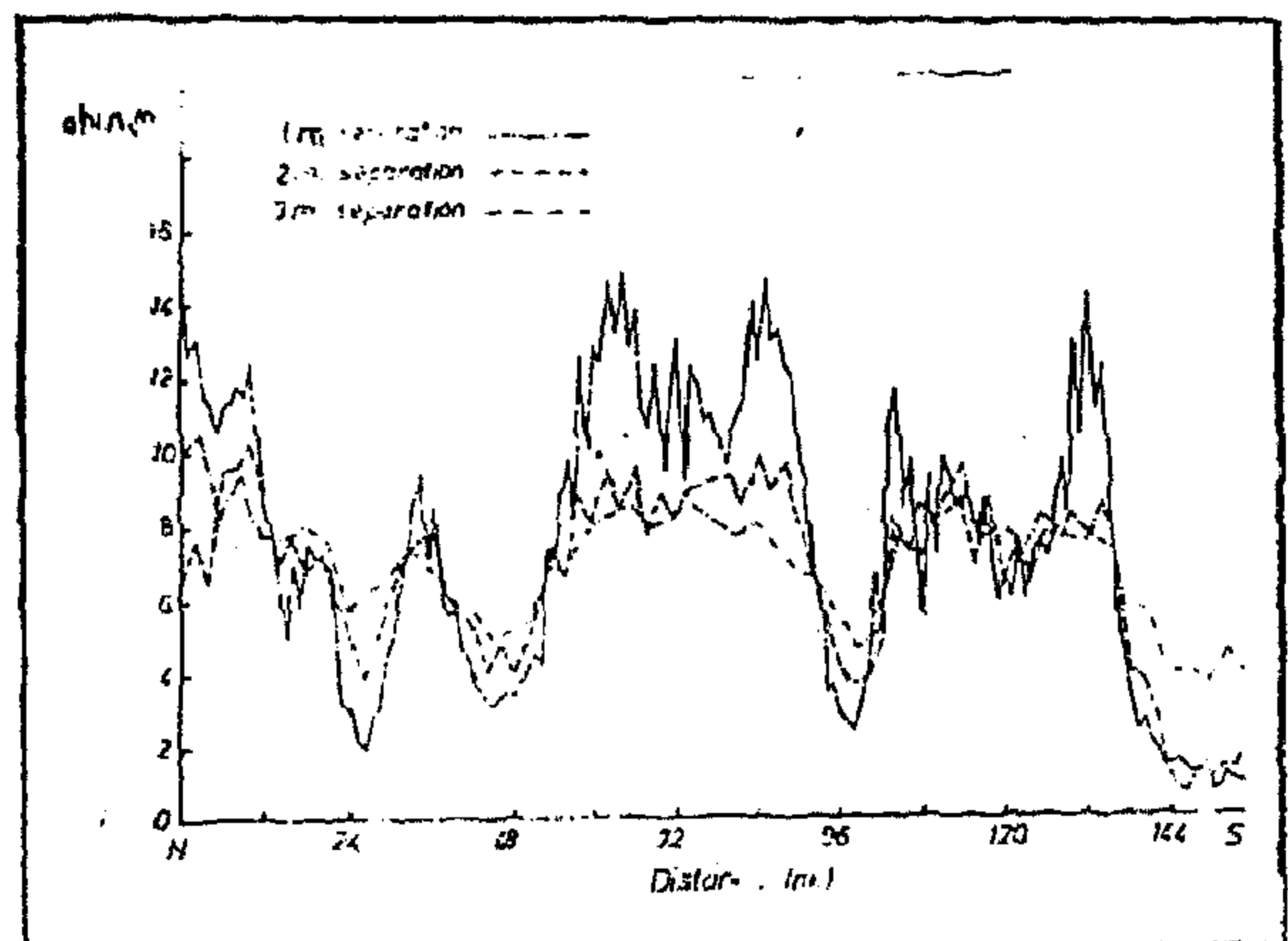


الشكل 6، مقارنة بين الانظمة الثلاثة (ثنائي القطب فنر . ٣٠ ونظام ثلاثي القطب) للسار (4).

Fig. 6 Comparsion between the three configurations dipole - dipole, Wenner 4m, and three pole for traverse (4).

تأثير التغيرات المناخية على قيم المقاومة النوعية

نظراً لشمول العمل الحقلى على فترتين مختلفتين الأولى من 18 ، اب 1980 وإلى 23 ، أيلول 1980 والثانية من (3 - 21) آذار ، 1981 . ولاختلاف الظروف المناخية في كلتا الفترتين ، حيث أن التربة تكون جافة في الفترة الأولى وعلى العكس في الفترة الثانية التي تكون فيها التربة رطبة ، ونظراً لأهمية عامل الرطوبة ولمعرفة مدى تأثيره على القيم المستحصلة من الحقل للمقاومة النوعية فقد أجريت مقارنة بين النتائج التي تم الحصول عليها في شهر أيلول عند سع أحده المسارات وهو المسار (20) مع النتائج المستحصلة في شهر آذار لنفس المسار وباستعمال نظام فنر بمسافة (1) في كلتا الفترتين كما في الشكل (7) . ولغرض المقارنة فالشنوذ (1) الذي يقابل نفس الشنوذ خلال شهر أيلول وشهر آذار ، الا أن قيمة للمقاومة النوعية فيه قد



الشكل 5 ، يبين الاختلاف في قيم المقاومة النوعية باستعمال نظام فنر بمسافات للسار (8).

(بأوم - متر) ان الشواد الظاهرة في هذا المخطط معقد ويحتوى على تغيرات كبيرة في المقاومة النوعية قد لا تكون ناتجة مباشرة عن تراكيب اثريية موجودة تحت خط المسار ، والسبب هو انتشار التيار الى الجوانب اضافة الى انتشاره الى الاسفل والذي يسبب في اعطاء معلومات عن تراكيب قد لا تقع مباشرة تحت خط مسار المسح ، ومن ملاحظة الشكل (5) . هناك ظاهرتين في هذا المخطط ، الاولى تشبه الحرف «M» وهي تنتج عند توغل جسم ذو مقاومة نوعية عالية في وسط ذو مقاومة نوعية أقل ، لذا عند اقترابقطبي التيار من حافة هذا الجسم فان جزء من التيار يمر تحت هذا الجسم وهذا يؤثر على الفولتية المقاسة بينقطبي «W» والتي تنتج من وسط ذو مقاومة نوعية قليلة . ان كلتا من الظاهرتين «M» و «W» تنتج من استعمال طريقة موقع الاقطاب التي تكون عامودية على الجدار ، وتظهر الشواد في المسافة (2) متر بين الاقطاب أقل وضوحاً مما هي عليه في حالة المسافة بين الاقطاب (1) متر اضافة الى ذلك أن حجم التغيرات الكلية للمقاومة النوعية يقل عند المسافات الكبيرة بين الاقطاب . وعند زيادة المسافة بين الاقطاب الى (3) متر نلاحظ ان المخطط يعطي شواد أقل وخصوصاً من المخططيين السابقين . ان حصيلة المقارنة باستعمال المسافات (1) ، (2) ، (3) متر هي أن المخطط بمسافة (1) متر يعطي شواد أكثر وضوحاً من (2) مترين و (3) مترين في هذه المنطقة وهنالك تفسيرين لهذه الظاهرة ، الاول هو أن عمق التراكيب الارثية (المحتمل تواجدها في المنطقة) ينسجم مع المسافة (1) متر بين الاقطاب . والتفسير الثاني أن مستوى المياه الجوفية للمنطقة من المحتمل أن يكون قريباً من السطح ، حيث أن عمق المياه الجوفية في المنطقة يتراوح تقريباً (2.5) متر ، ولأسباب المذكورة سابقاً تم مسح ماتبقى من المسارات وعددها (29)

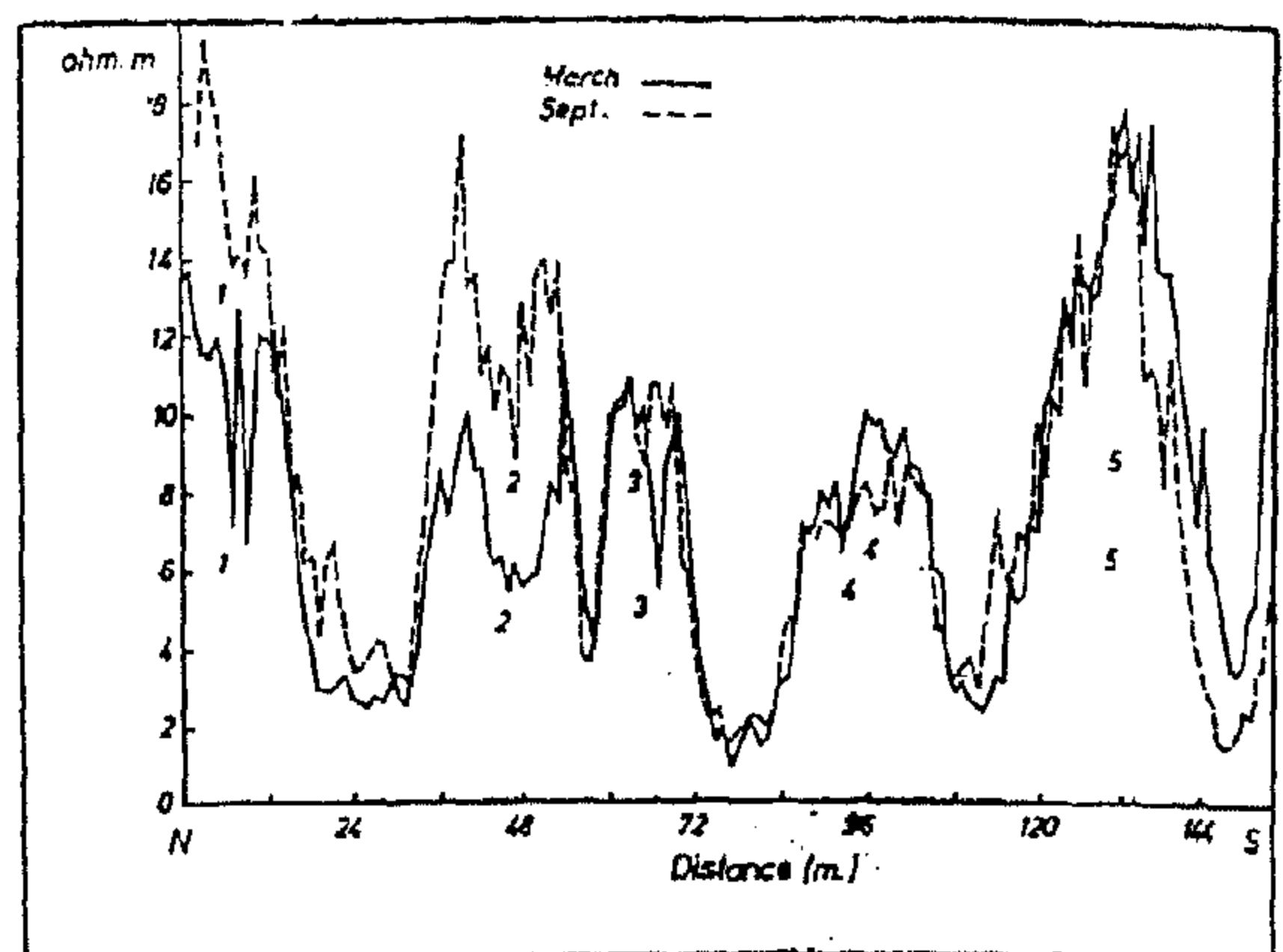


الشكل 8، خارطة المقاومة النوعية الكلية للمنطقة، للمسارات المتوجهة شمال - جنوب

Fig. 8 Isoresistivity map of the studied area for the traverses (N - S) direction.

الذكر، ولتعقيد أشكال الشواد الظاهرة في هذه المخططات تم عمل خارطة كنتورية لجميع قيم المقاومة النوعية المستحصلة من الحفر باستعمال نظام فنر بمسافة (1) متر بفتررة كنتورية (1.0) أوم متر كما في الشكل (8). ان الشواد الظاهرة في الخارطة معظمها شواد متعددة (Linear) وهذه تأخذ اشكالاً غير منتظمة . ومعظمها تتجه شمال - جنوب أي مع اتجاه مسار القطب .

شمال - جنوب أي مع اتجاه مسار القطب . فالشواد المتعددة التي لها مقاومة نوعية عالية . يحتمل أنها ناتجة عن وجود جدران مدفونة (المتوقع وجودها في المنطقة) ، وان استمرارية بعض هذه الشواد يعتقد بأن الجدران لاتزال في حالة جيدة . ان الشواد المتعددة والضيقة ذات المقاومة النوعية العالية والمنتشرة في اجزاء الخارطة ليس لها نفس القيمة المطلقة للمقاومة النوعية وسبب هذا التباين هو نوعية المواد التي تحيط وتقطعي هذه التراكيب الاثيرية المحتمل وجودها في المنطقة . فمثلا اذا كانت هذه المواد ناتجة عن مخلفات مواد البناء المنتشرة في المنطقة فسوف لاتعطي نفس القيمة للمقاومة النوعية في حالة حالة كون المواد التي تعطي بنفس التراكيب الاثيرية هي من التربة الاعتيادية الحاوية على بعض النباتات . اتضح عند الحفر في احد المواقع في المنطقة التي أعطت قيمة عالية نسبياً للمقاومة النوعية وجود نسبة كبيرة من الطابوق المتدخل في التربة ، والذي لايزال قسم منه بحالة جيدة بالإضافة الى وجود قطع كثيرة متكسرة معه . وهذا يعود بالطبع الى عملية الهدم التي أصابت الجدران نتيجة للظروف الخارجية التي أحاطت بالمنطقة . (حيث كانت منطقة سياحية ومفتوحة لفترات طويلة) . أما الشواد المتعددة ذات المقاومة النوعية ، فمن المحتمل أن تكون ناتجة عن الحفريات التي ترافق عملية التنقيبات الاثيرية ، فعند اندثار مثل هذه الحفريات بالترابة وما تحويه من مواد مختلفة ، تكون اجزاؤها غير متماسكة مثلاً كانت عليه قبل عملية الحفر فتزداد المسامات فيها ، وتصبح هشة بحيث تسهل عملية مرور مياه الامطار خلالها . لذا فان مثل هذه الحفريات بعد اندثارها تعطي شواد متعددة (اذا كانت الحفريات تشكل ما يشبه الخنادق) ذات مقاومة نوعية قليلة . وتأكد لدينا عند الحفر في مثل هذه الواقع أن القيمة القليلة



الشكل 7، يبين التغير العاصل في الشواد الظاهرة للمسار (20) خلال شهر ايلول وشهر آذار .

Fig. 7. Diagram showing the variation in the anomalies for traverse (20) during March and September.

انخفضت . أما الشذوذ (2) فقد انخفضت ايضاً فيه قيمة المقارنة النوعية .

اما في الشذوذ الثالث فهو ثابت في الفترتين ، وهذا يعني أن الشذوذ بقى محافظاً على شكله في كلتا الفترتين . وكذلك بالنسبة للشذوذ (4) والشذوذ (5) . فاذن ان كلاماً من الشذوذين (1) ، (2) انخفضت فيهم قيمة المقاومة النوعية في شهر آذار عما كانت عليه في شهر ايلول ، كما هو واضح في الاختلاف بين هذين المخططين . هنالك احتمالين لهذا الانخفاض في قيمة المقاومة النوعية ، الاول أن التربة عندما تكون شديدة الجفاف ومتماسكة تعطي قيمة عالية نسبياً للمقاومة النوعية ، بحيث تقارب قيم المقاومة النوعية للتربة والتراكيب الاثيرية المدفونة بها ، لذا فأن احسن فترة ل المسح هي عندما تكون التربة رطبة ، أي الفترة التي تعقب سقوط أمطار خفيفة . أما الاحتمال الثاني في حالة وجود حفرة مدفونة وحلوية على قطع من مواد البناء المنتشرة في المنطقة ففي فترة الجفاف تعطي مثل هذه المواد قيمة عالية للمقاومة النوعية . وتنخفض هذه القيمة للمقاومة النوعية في الفترة التي تعقب سقوط الامطار لسهولة توغل المياه بين اجزائها المتحركة . وكل الاحتمالين وارد في هذه المنطقة لكون تربة المنطقة جافة خلال فترة السح في ايلول ، وكذلك نتيجة التنقيبات (عمليات الحفر) المستمرة في المنطقة ولفترات مختلفة واندثار الحفر الناتجة من عمليات التنقيب بواسطة مخلفات البناء المختلفة نتيجة الترميمات المستمرة للاثار القائمة في المنطقة .

الشواد الظاهرة في خارطة المقاومة النوعية (Isoresistivity map)
للمسارات المتوجهة شمال - جنوب
لصعوبة تفسير كل مخطط منفرد عن المخططات الأخرى سالفة

يدخل ضمنها جزء من الشذوذ الذي يقع في الجزء الجنوبي من الخارطة في الشكل (8)، والذي يتجه شمال - جنوب، ولكن نلاحظ في هذه الخارطة اختفاء الشذوذ المتوجه شمال - جنوب وظهور شذوذ غير منتظم معظمها تتجه شرق - غرب اي مع اتجاه المسارات المسوحة. لذا ينصح عند القيام بمسح كهربائي لمنطقة ما، ان تستعمل كلتا الطريقتين، اي المسارات المتوجهة شمال - جنوب، والاخري العامودية عليها المتوجهة شرق - غرب بحيث تغطي جميع المنطقة وبالتالي ايجاد العلاقة بين الشذوذ الناتجة عن كلا منها، او ان تؤخذ المسارات باتجاه (45°) لمسح المنطقة جميعها للحصول على الشذوذ الناتجة من التراكيب الاثيرية في كلا الاتجاهين.

لكي نستخلص اكثر المعلومات الممكنة عن موقع التراكيب الاثيرية من خارطة المقاومة النوعية وجد من الضروري فصل الشذوذ المحلية الناتجة من وجود التراكيب الاثيرية عن الشذوذ الاقليمية ذو الامتداد الواسع والناتجة عن التغيرات الجيولوجية في المنطقة. ولقد اجريت عملية الفصل هذه باستعمال طرق تحليلية التي بواسطتها تم عزل الظواهر ذات الاطوال الموجية الكبيرة والبقاء على الظواهر ذات الاطوال الموجية القصيرة سليمة تقريباً. تمت هذه العملية باستعمال الحاسبة الالكترونية (hp 3000). كما تم رسم الخرائط بواسطة جهاز كالكومب (Calcomp). ومن هذه الطرق التحليلية التي استعملت في عملية الفصل.

طريقة كرفن (Griffen, 1949)

ان قيمة المقاومة النوعية الاصلية المقاسة على السطح بشكل (8) هي حصيلة الشذوذ المحلية الناتجة من وجود تراكيب اثيرية ، والشذوذ ذو الامتداد الاوسع والناتجة عن التغيرات الجيولوجية . ولفرض الحصول على خارطة تمثل الشذوذ المتبقية (Residual anomalies) يجب ازالة او طرح تأثير المجال الاقليمي من الخارطة الاصلية، كرفن (Griffen, 1949) . وتعتبر طريقة عزل الشذوذ هذه من الطرق التحليلية البسيطة في حساب الشذوذ المتبقى مباشرة من القيم او المعطيات الاولية (قيم المقاومة النوعية الاصلية) . لقد طبق كرفن هذه الطريقة سنة (1949) ، حيث استعمل ثمانى نقاط تقع على محيط دائرة معينة ذات نقطة مركزية . وتتضمن هذه الطريقة حساب معدل القيم الجهدية للنقاط الثمانى الواقع على محيط دائرة ذات نقطة مركزية المراد حساب الشذوذ المتبقى لها ، مقسمة على عدد النقاط الثمانى المستخدمة ثم يطرح هذا المعدل من القيم الاصلية لفرض الحصول على الشذوذ المحلية . ويمكن توضيح ذلك كما يلي :

$$\Delta R = R_0 - \bar{R}_r$$

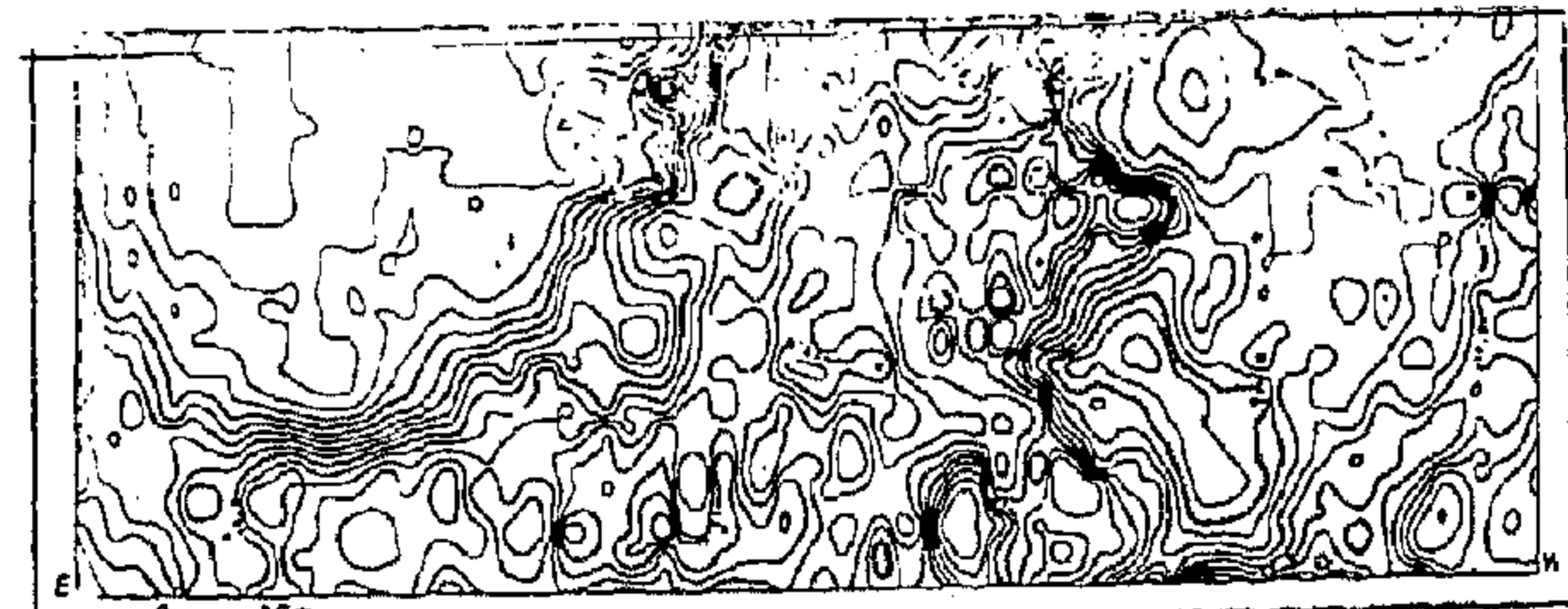
$$\bar{R}_r = \frac{R_{1r} + R_{2r} + R_{3r} + \dots + R_{nr}}{n}$$

للمقاومة النوعية ماهي الا تربة عادي وخالية من مواد البناء كالطابوق وقطع الكسر، ويساهم عامل الرطوبة ايضا في خفض قيم المقاومة النوعية . من ملاحظة الشكل (8) نلاحظ أن أكثر الشذوذ تتركز في الحافة الشرقية من الخارطة . ويمكن تجزئة الشذوذ الظاهرة في الخارطة كما يلي :

أكبر الشذوذ الظاهرة في هذه الخارطة هو الشذوذ الموجود في الحافة الجنوبية من الخارطة . والذي تتراوح قيمة المقاومة النوعية فيه من (3.0) أوم . متر الى (20.0) أوم . متر كأعلى قيمة ويتجه هذا الشذوذ شمال - جنوب ويمتد هذا الشذوذ بحيث يشمل الربع الجنوبي من الخارطة . وتتركز مجموعة من الشذوذ غير المنتظمة قرب الحافة الشرقية من الخارطة وفي الجزء الاوسط منها، حيث تتراوح قيمة المقاومة النوعية فيها (4.0 - 16.0) أوم . متر . أما الربع الشمالي من الخارطة أيضا يحتوي على مجموعة من الشذوذ غير المنتظمة والتي تتراوح فيها قيمة المقاومة النوعية (3.0 - 17.0) أوم . متر . ومن ملاحظة هذا الشذوذ أن الجزء الوسط منه يأخذ الاتجاه شمال - جنوب وعلى جانبيه تمتد الشذوذ باتجاه شرق - غرب ، وهناك شذوذ اخر متوسط العجم ، يقع في الجزء الشمالي من الخارطة وفي الحافة الغربية منها وتتراوح قيمة المقاومة النوعية فيه (4.0 - 19.0) أوم / متر . تمتد منطقة واسعة خالية من الشذوذ من الجزء الجنوبي الغربي للخارطة الى الجزء الشمالي الغربي فيها ، وتتوغل الى منتصف الخارطة ويفصلها عن الشذوذ الحبيطة بها الخط الكنتوري (5.0) أوم . متر وتميز هذه المنطقة كونها قليلة المقاومة النوعية . حيث تتراوح قيمتها (0.5 - 5.0) أوم . متر . وهذا يعني أن هذه المنطقة اما أن تكون خالية من التراكيب الاثيرية فعلاً، أو أن عمق التراكيب الاثيرية الموجودة فيها لا يتناسب مع المسافة بين الأقطاب المستعملة عن المسح وبالغة متراً واحداً.

الشذوذ الظاهرة في خارطة المقاومة النوعية (Isoresistivity map) للمسارات المتوجهة شرق - غرب

يبين الشكل (9) خارطة كنتورية لقيم المقاومة النوعية للمسارات التي سُحت باتجاه شرق - غرب . علماً ان المنطقة التي مُحَاط



الشكل 9: خارطة المقاومة النوعية الكلية لجزء من المنطقة للمسارات المتوجهة شرق - غرب

Fig. 9 Isoresistivity map of the studied area for the traverses in the E-W direction.

حيث ان :

R_c ، قيمة المقاومة النوعية الاصلية للنقطة الواقعة في مركز دائرة .
 \bar{R} ، معدل قيم المقاومة النوعية لل نقاط الواقعة على محيط دائرة نصف قطرها (r) .

ΔR ، قيمة المقاومة النوعية المتبقية .

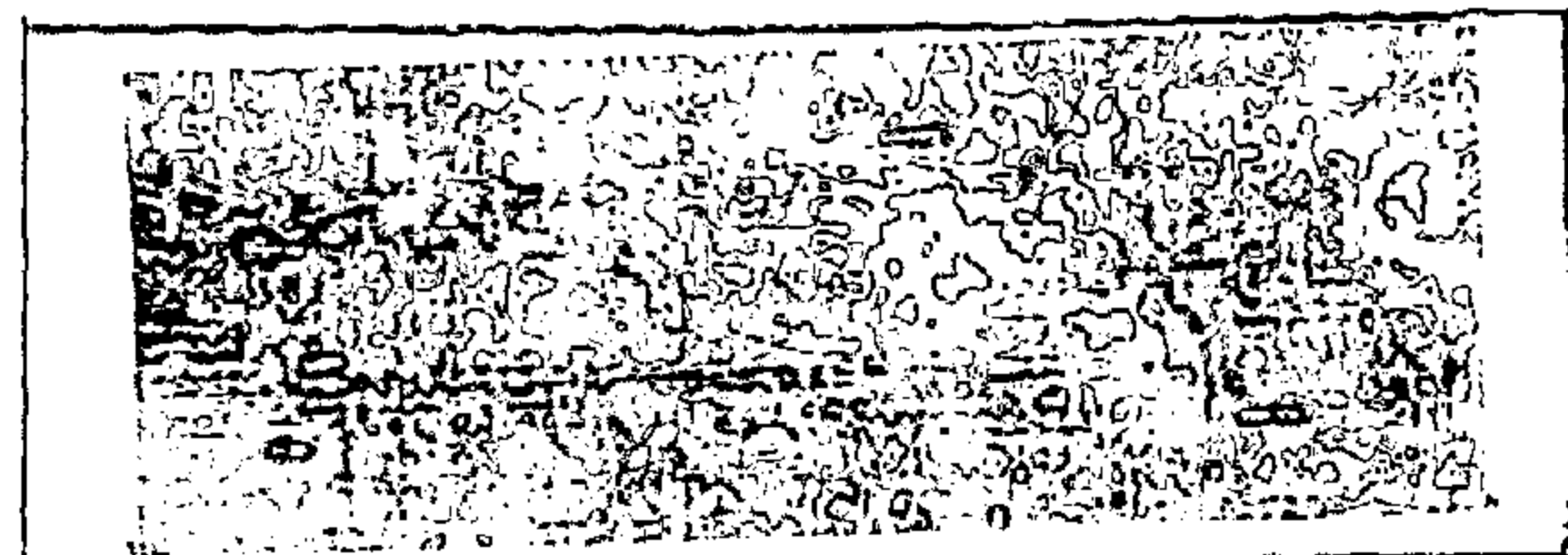
ii، عدد النقاط المستعملة في الدائرة .

ان قيمة الشواد المتبقية اما ان تكون موجبة ، صفر او سالبة ، حيث تعتمد على قيمة النقطة المركزية R_c المراد حسابها فيما اذا كانت ، اكبر، مساوية او اصغر من المعدل (\bar{R}) ، كرفن (Griffen, 1949)

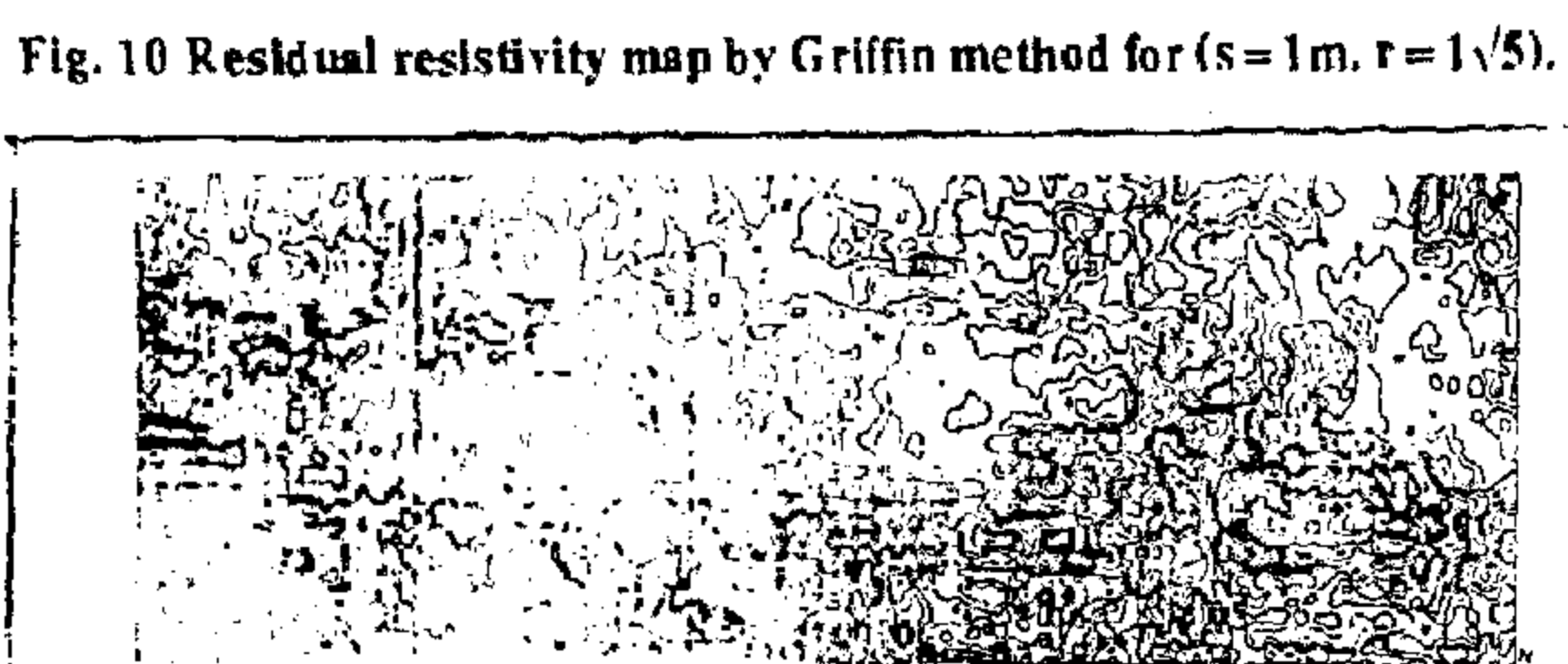
ان المشكلة الرئيسية عند استعمال هذه الطريقة هي كيفية اختيار نصف قطر دائرة الملائم لغرض الحصول على معلومات ذات دقة كبيرة ، لذا فان الشذوذ المعلى في نقطة معينة يعتمد بصورة كبيرة على حجم دائرة المختار . لقد تم استعمال ثلاثة دوائر ذات انصاف مختلفه هي $S\sqrt{20}$ ، $S\sqrt{8}$ ، $S\sqrt{5}$ (حيث ان S هي الفاصلة الشبكية = 1 مترا) ثم رسمت خرائط للشواد المتبقية كما في الاشكال (10) ، (11) ، (12) المسونحة باتجاه شمال - جنوب و (16) (17) ، (18) باتجاه شرق - غرب واخوى للشواد الاقليمية كما في الاشكال (13) ، (14) ، (15) المسونحة باتجاه شمال - جنوب و (19) ، (20) (21) باتجاه شرق - غرب . ووجد من تطبيق انصاف اقطار مختلفة للدوائر بأن عدد الشواد المتبقية في الخارطة الاقليمية المحتسبة باستعمال نصف قطر ($S\sqrt{5}$) ، هي اقل مما يظهر في الخرائط التي اختبرت بانصاف اقطار اخرى ، هنا يعني ان درجة الفصل في هذه الخارطة هي اكبر من الخرائط الاخرى .

نصف للشواد

يبين الشكل (10) خارطة الشواد المتبقية باستعمال نصف قطر ($S\sqrt{5}$) . ان اهم الشواد الظاهرة في هذه الخارطة هي الشواد التي تتركز في الجزء الجنوبي منها ، حيث تتراوح فيها قيم المقاومة النوعية من (6.2 -) الى (7.1) اوم . متر وتعجمه معظم هذه الشواد شمال - جنوب . والمجموعة الاخرى من الشواد هي تلك التي تظهر في الجزء هوسطي من الخارطة وتتركز عند الحافة الشرقية منها ، حيث تتراوح قيم المقاومة النوعية فيها من (5.6 -) الى (5.5) اوم . متر . تمتاز هذه الشواد بكونها ضيقة وتمتد شمال - جنوب . اما الشواد الباقية الاخرى فهي تلك التي تتركز في الجزء الشمالي من الخارطة وتتراوح قيم المقاومة النوعية فيها (5.0 -) الى (6.7) اوم . متر . وان معظم هذه الشواد تتجه شمال - جنوب . وهنالك بعض الشواد القليلة التي تتجه شرق - غرب وشذوذ صغير اخر يتوجه شمال شرق - جنوب غرب في هذا الجزء . يبين الشكل (11) خارطة للشواد المتبقية باستعمال نصف قطر ($S\sqrt{8}$) وتعتبر الشواد المتمركة بالجزء الجنوبي من

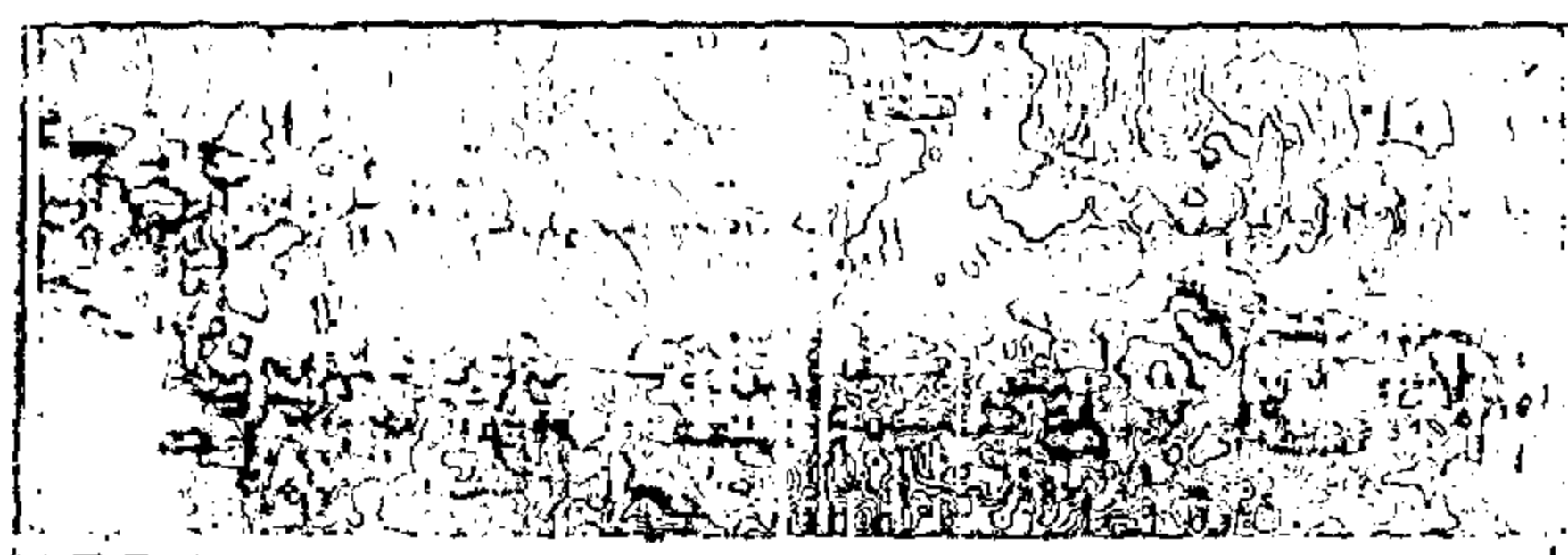


الشكل (10) : خارطة المقاومة النوعية المتبقية باستخدام طريقة كرفن لفاصلة شبکية 1 م ونصف قطر الدائرة



الشكل (11) : خارطة المقاومة النوعية المتبقية باستخدام طريقة كرفن لفاصلة شبکية 1 م ونصف قطر الدائرة

Fig. 11 Residual resistivity map by using Griffin method for (s=1m., r=1/8).



الشكل (12) : خارطة المقاومة النوعية المتبقية باستخدام كرفن لفاصلة شبکية 1 م ونصف قطر الدائرة

Fig. 12 Residual resistivity map by using Griffin method for (s=1m., r=1/20).



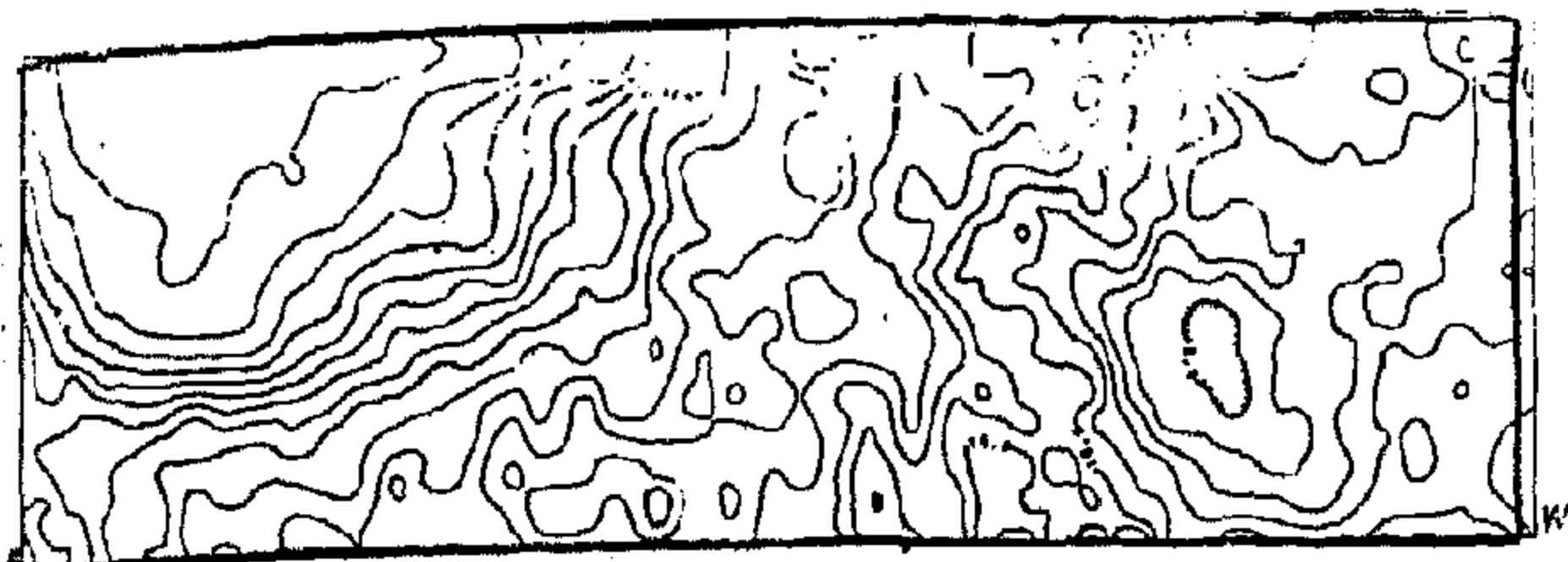
الشكل (13) : خارطة المقاومة النوعية الاقليمية باستخدام طريقة كرفن لفاصلة شبکية 1 م ونصف قطر الدائرة

Fig. 13 Regional resistivity map by using Griffin method for (s=1m., r=1/5).



الشكل (14) : خارطة المقاومة النوعية الاقليمية باستخدام طريقة كرفن لفاصلة شبکية 1 م ونصف قطر الدائرة

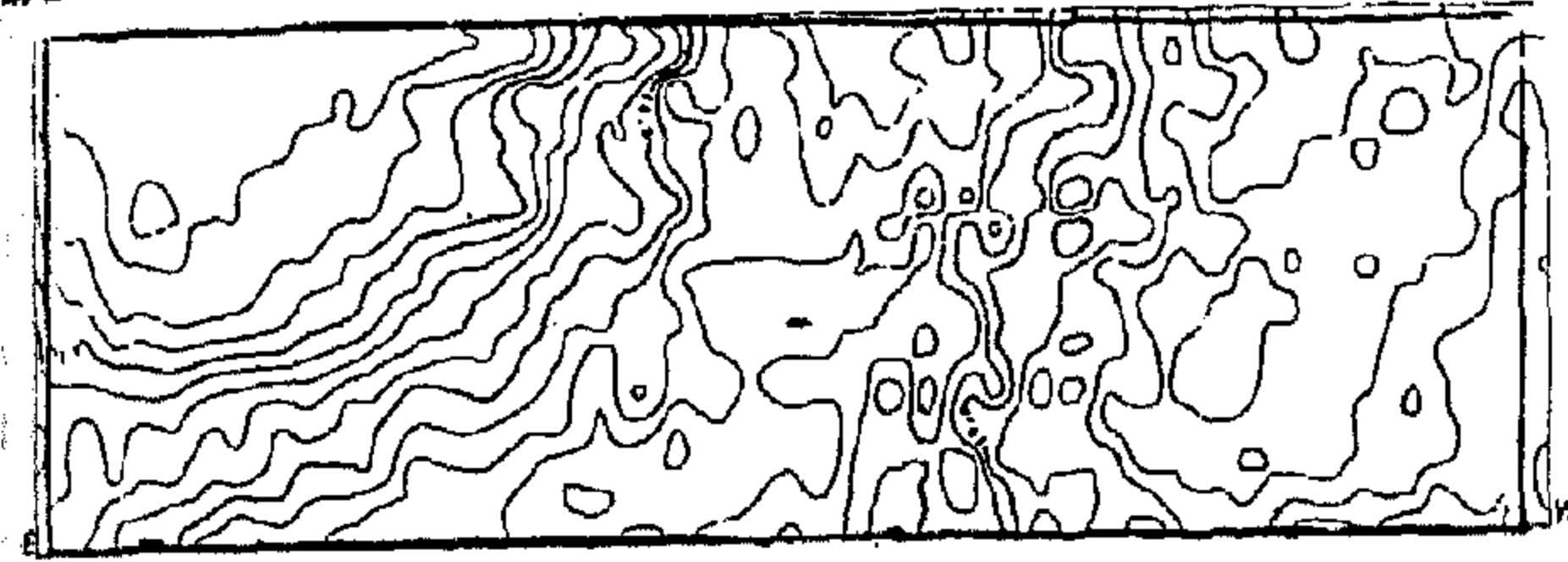
Fig. 14 Regional resistivity map by using Griffin method for (s=1m., r=1/8)



الشكل 19 ، خارطة المقاومة النوعية الإقليمية باستخدام طريقة كرفن لفاصلة شبکية 1 م ونصف قطر الدائرة . للمسارات المتوجهة شرق - غرب .

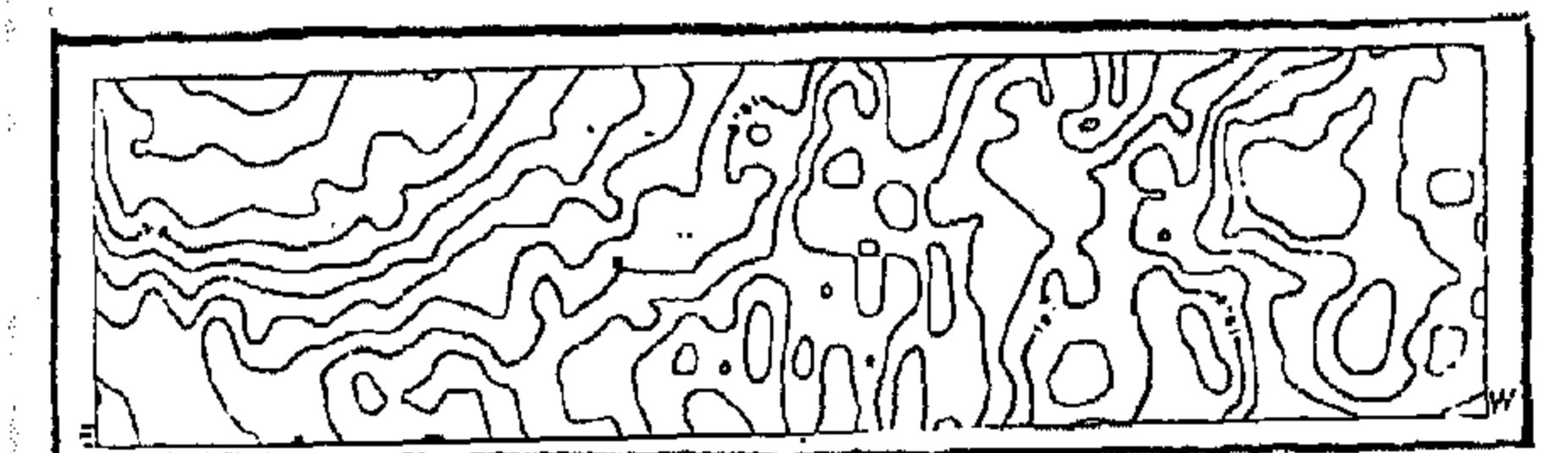
Fig. 19 Regional resistivity map by using Griffin method for ($s = 1\text{m.}$, $r = 1/\sqrt{5}$)

(for E-W traverses)



الشكل 20 ، خارطة المقاومة النوعية الإقليمية باستخدام طريقة كرفن لفاصلة 1 ونصف قطر الدائرة . للمسارات المتوجهة شرق - غرب .

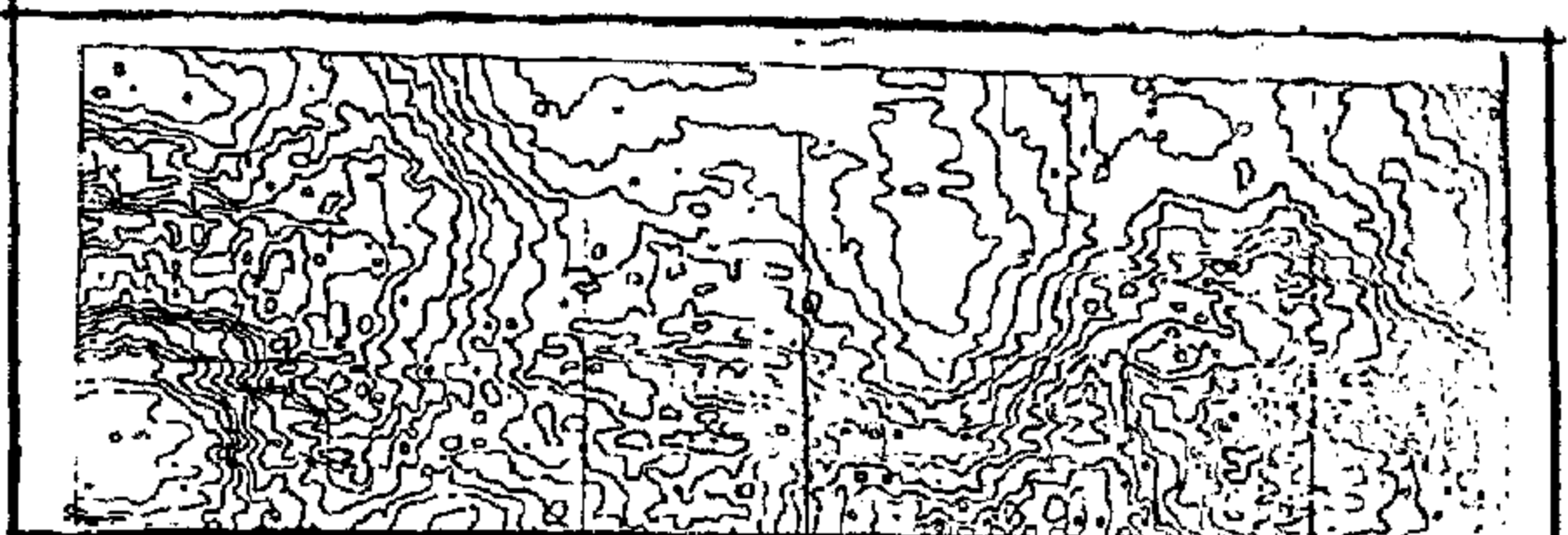
Fig. 20 Regional isoresistivity map by using Griffin method for ($s = 1\text{m.}$, $r = 1/\sqrt{10}$). (for E-W traverses).



الشكل 21 ، خارطة المقاومة النوعية الإقليمية باستخدام طريقة كرفن لفاصلة شبکية 1 م ونصف قطر الدائرة . للمسارات المتوجهة شرق - غرب .

Fig. 21 Regional isoresistivity map by using Griffin method for ($s = 1\text{m.}$, $r = 1/\sqrt{20}$). (for E-W traverses).

الى (7.25) اوم . متر . وتتركز هذه الشواد قرب العادة الشرقية من الخارطة . وتتجه معظمها شمال - جنوب . أما الشواد الموجودة في الجزء الشمالي من الخارطة تبلغ قيمة المقاومة فيها من (5.0 -) الى (8.0) اوم . متر . وتتجه معظمها شمال - جنوب . أما الشواد التي كانت ظاهرة في الخارطة السابقة ولنفس الجزء والتي تتجه شرق - غرب فتبليو في هذه الخارطة أقل وضوحاً . ويظهر هنا ايضاً الشواد الصغير الذي يتوجه شمال شرق - جنوب غرب في هذا الجزء . يبي الشكل (12) خارطة الشواد المتبقية باستخدام نصف قطر ($S/\sqrt{20}$) حيث تتراوح قيم المقاومة النوعية للشواد الموجودة في الجزء الجنوبي (7.4 -) الى (8.69) اوم . متر . وتتجه ايضاً معظم هذه الشواد شمال - جنوب . تظهر بعض الشواد الصغيرة التي تتجه شرق - غرب في هذه الخارطة لنفس الجزء اكثر وضوحاً من الخريطة السابقة . إن الشواد الموجودة في الجزء الوسطي من الخارطة تتراوح فيها قيم المقاومة



الشكل 15 ، خارطة المقاومة النوعية الإقليمية باستخدام طريقة كرفن لفاصلة شبکية 1 م ونصف قطر الدائرة . للمسارات المتوجهة شرق - غرب .

Fig. 15 Regional resistivity map by using Griffin method for ($s = 1\text{m.}$, $r = 1/\sqrt{20}$).



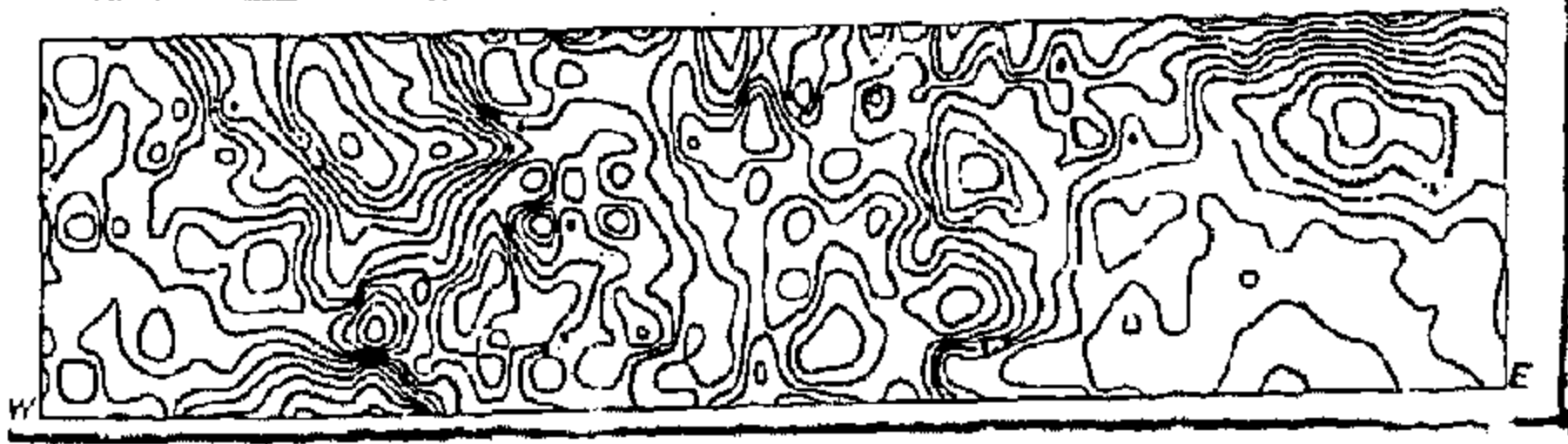
الشكل 16 ، خارطة المقاومة النوعية المتبقية باستخدام طريقة كرفن بفاصلة شبکية 1 م ونصف قطر الدائرة . للمسارات المتوجهة شرق - غرب .

Fig. 16 Residual resistivity map by using Griffin method for ($s = 1\text{m.}$, $r = 1/\sqrt{5}$). (for E - W traverses).



الشكل 17 ، خارطة المقاومة النوعية المتبقية باستخدام طريقة كرفن لفاصلة شبکية 1 متر ونصف قطر الدائرة (للمسارات المتوجهة شرق - غرب) .

Fig. 17 Residual resistivity map by using Griffin method for ($s = 1\text{m.}$, $r = 1/\sqrt{8}$). (for E - W traverses).



الشكل 18 ، خارطة المقاومة النوعية المتبقية باستخدام طريقة كرفن لفاصلة شبکية 1 متر . للمسارات المتوجهة شرق - غرب .

Fig. 183. Residual resistivity map by using Griffin method for ($s = 1\text{m.}$, $r = 1/\sqrt{20}$). (for E - W traverses).

الخارطة هي من اهم الشواد الظاهرة فيها وتتراوح قيم المقاومة النوعية فيها من (7.75 -) الى (7.75) اوم . متر وتحتجه معظم الشواد الظاهرة في هذا الجزء شمال - جنوب . ان الشواد الموجودة في الجزء الوسطي من الخارطة تتراوح فيها قيم المقاومة النوعية من (5.75 -)

(Davis, 1982). ويمكن معرفة تفاصيل استعمال الطريقة وتطبيقاتها في الرجوع الى المصدر .

ان الاساس المعتمد في سلسلة فوريير هو في تمثيل أي سطح جهدي (القيم الكهربائية، المغناطيسية ..) بمجموعة من الترددات ذات السعة والتطور المعين .

باستعمال سلسلة فوريير المزدوجة يمكن عمل خرائط كتورية للسطح الاتجاهية ، تضم المعاملات حسب اطوالها الموجية وحسب درجة المطابقة (Fitting) المطلوبة ، حيث يمكن ان نحصل على سطح توافقى من النوع الذى يماثل سطوح الدرجة الاولى صعوباً الى المطابقة الكلية (Total fit) . والتي تصل في تمايلها الى سطوح من درجات عليا يصعب الحصول عليها من خلال البرامج التي تعتمد على حساب هذه السطوح بطريقة الـ (Polynomial) . كما ويمكن استخلاص الشذوذ من خلال طرح قيم السطوح المحسوبة من القيم الاصلية .

ان طبيعة الخارطة الاصلية الظاهرة في الشكل (8) للمنطقة تبرز بصورة رئيسية تأثيرات محلية ، لذا فان خرائط فوريير تظهر نسبة مشاركة واطئة للسطح المستخلصة . حيث ان المعالجات للتواقيع ذات الدرجات العالية تشير الى صورة مماثلة للخارطة الاصلية شكلاً .

تم استحصل النسبة المئوية لحاصل الجمع المصحح الاجمالي لمربعات متغير الخارطة الموضع بواسطة السطح التوافقى لخمسة اجزاء هي 29.8 % ، 45.9 % ، 14.4 % ، 27.8 % ، 40.5 % على التوالي . وتمثل كل نسبة من هذه النسب السطوح الاقليمية (Trend surfaces) الموجودة في كل جزء من الاجزاء الخمسة . ويمثل سطح فوريير التوافقى اطوالاً موجية مقدارها (26) متر باتجاه جنوب - شمال و (48) متر باتجاه غرب - شرق بالنسبة للمنطقة ، لکل جزء من اجزائها الخمسة . تتجه معظم الاشكال المتبقية الظاهرة في الشكل (22) شمال - جنوب . ويظهر بوضوح سيطرة المجال المتبقى فيها .

اما السطح التوافقى الثاني ، فان النسبة المئوية لحاصل الجمع المصحح الاجمالي لمربعات الخارطة للاجزاء الخمسة من الخارطة هي 33.3 % ، 48.6 % ، 17.7 % ، 28.7 % ، 42.8 % مرتبة حسب تسلسل (Trend) ، ذات الاشكال الموجية المتباينة الاطوال . مع التغير في زبيب السطح . وتعتبر سلسلة فوريير المزدوجة تقنية تستعمل احياناً لحل الانماط النظامية الكبيرة نسبياً ذات التغير المساحي الموجود في الخارطة ، من التقلبات المحلية الصغيرة . ويعرف هذا بالتحليل الانجاهي ، اذ يتضمن هذا التحليل فصل القراءة المقاسة الواحدة الى جزأين يمثل احدهما الجزء الثابت نسبياً والذي يساهم في الانماط النظامية في الخارطة ويدعى باتجاه (Trend) والاخر غير ثابت نسبياً اذ يتغير بطريقة عشوائية من نقطة الى أخرى والذي يدعى بالانحراف عن الاتجاه .

يبين الشكل (24) سطح فوريير المعتمد على المعاملات الموجدة في المجموعة التي تمثل السطح التوافقى الثالث . فان النسبة المئوية لحاصل الجمع المصحح الاجمالي لمربعات متغير الخارطة للاجزاء

لونية من (5.8 - 7.13) الى (7.13) وتتجه معظم هذه الشذوذ شمال - جنوب ماعدا شذوذ صغير يتجه (شمال شرق - جنوب غرب) . ان الشذوذ الموجودة في الجزء الشمالي تتراوح قيم المقاومة النوعية فيها من (7.8 - 9.8) اوم . متر ومعظمها يتجه شمال - جنوب ماعدا بعض الشذوذ التي تتجه شرق - غرب ، وهي قليلة مقارنة بذلك التي تتجه شمال - جنوب . كما توضحها الاشكال (13) ، (14) ، (15) الخاصة بالشذوذ الاقليمية .

رسمت خرائط للشذوذ المتبقية لقيم المقاومة النوعية للمسارات المأهولة شرق - غرب في الجزء الجنوبي من المنطقة باستعمال انصاف اطار (S/20, S/8, S/5) . كما في الاشكال (16) ، (17) ، (18) واخرى للشذوذ الاقليمية كما في الاشكال (19) ، (20) . ومن مقاومة الشذوذ الظاهرة في خرائط الشذوذ المتبقية هذه مع الشذوذ الظاهرة في الجزء الجنوبي من الخرائط للمواد المتبقية والمبينة في الاشكال (10) ، (11) ، (12) . نلاحظ هنالك اختلافاً واضحاً جداً ، وهو اختفاء الشذوذ التي كانت ظاهرة في الجزء الجنوبي من الخرائط السابقة والتي تتجه شمال - جنوب وظهور شذوذ غير منتظمة يتجه شرق - غرب ، هنالك جزء من شذوذ ظاهر في حافة الخارطة يأخذ الاتجاه شمال - جنوب ، وتتراوح قيم المقاومة النوعية فيه من (5.0 - 6.0) اوم . متر في الخارطة الناتجة من اسفل نصف قطر (S/5) . اما الخارطة الناتجة من استعمال نصف قطر (S/8) تتراوح قيم المقاومة النوعية من (3.0 - 6.0) اوم . متر وتتراوح فيه المقاومة النوعية من (8.0 - 5.5) اوم . متر في الخارطة الناتجة من استعمال نصف القطر (S/20) .

Double Fourier Series
امتنعت سلسلة فوريير المزدوجة خلال السنين الاخيرة في تحليل الغرائط الكتورية كبديل عن (Polynomial model) الشائعة لاستعمال في هذا المجال .

ان سلسلة فوريير المزدوجة لها دور كبير في دراسة التغيرات المساحية للحصول على سلسلة من الغرائط الاتجاهية (Trend) ، ذات الاشكال الموجية المتباينة الاطوال . مع التغير في زبيب السطح . وتعتبر سلسلة فوريير المزدوجة تقنية تستعمل احياناً لحل الانماط النظامية الكبيرة نسبياً ذات التغير المساحي الموجود في الخارطة ، من التقلبات المحلية الصغيرة . ويعرف هذا بالتحليل الانجاهي ، اذ يتضمن هذا التحليل فصل القراءة المقاسة الواحدة الى جزأين يمثل احدهما الجزء الثابت نسبياً والذي يساهم في الانماط النظامية في الخارطة ويدعى باتجاه (Trend) والاخر غير ثابت نسبياً اذ يتغير بطريقة عشوائية من نقطة الى أخرى والذي يدعى بالانحراف عن الاتجاه . (Rayner, 1971) .

هذا التباين بعوامل مختلفة اهمها كمية الماء الموجود في التربة (اي الرطوبة) التي تتغير حسب التأثيرات المناخية والهيدرولوجية ، ونوعية التربة وما تحويه من قطع مختلفة الاحجام من حجر البنة (الطابوق) . وتؤكد الدراسة على ضرورة اجراء المسح في مثل هذه الحالات خلال الفترات التي تكون بها التربة الرطبة عالية للحصول على التباين بين التراكيب الاثرية والتربة المحيطة بها .

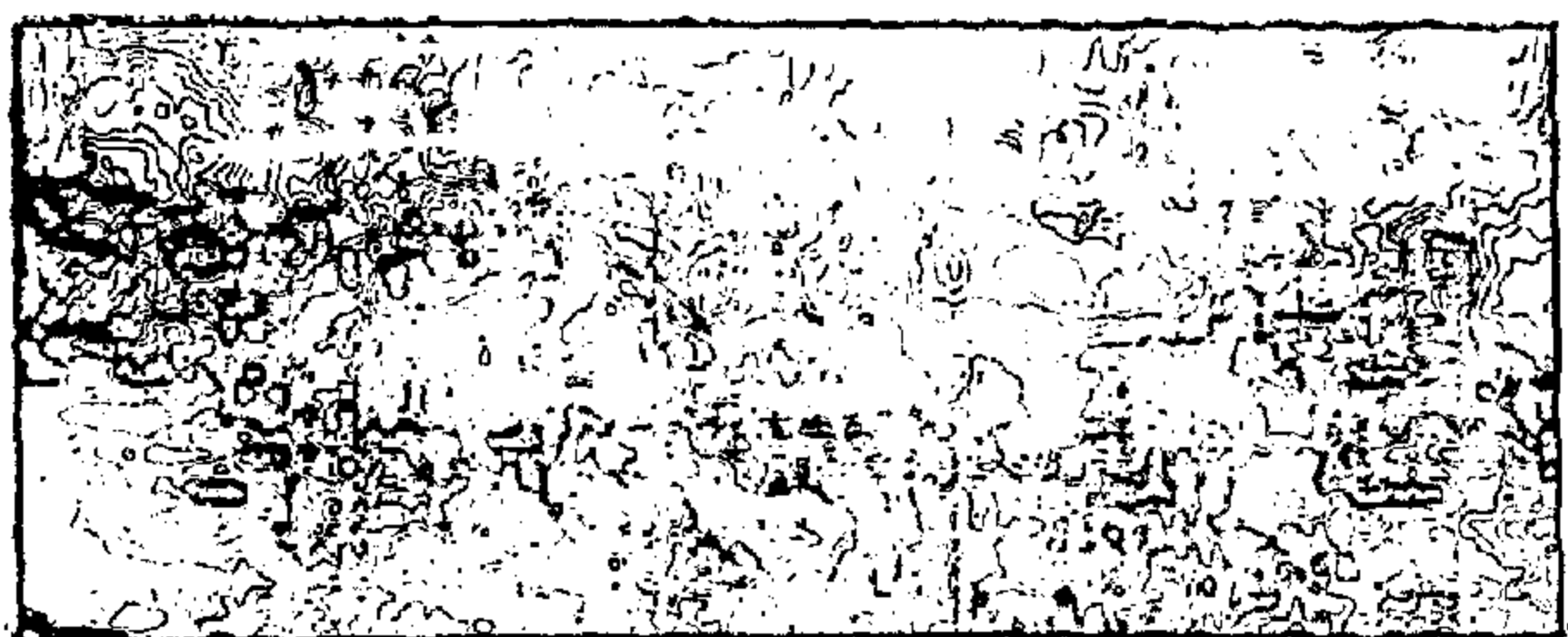
- وجد من المخططات للمسارات المسوحة باستعمال نظام فنر بمسافة (1) متر انها تعطي تفاصيل اكتر ، حيث تظهر الشواذ فيها اكتر وضوحاً من المخططات للمسارات المسوحة بمسافة (2) و (3) متر بنفس النظام . ويعتمد ذلك على طبيعة المنطقة والاجسام ، الاثرية الموجودة فيها ومدى ملائمتها مع المسافات المختارة .
- ان نظام فنر وبمسافة (1) متر ، نتائج مقاومة جداً الى نظام ثالثي القطب وكلاهما يختلف عن نظام ثانوي القطب ، حيث ان اختيار النظام يعتمد على المنطقة المدروسة .

- رسمت خارطة مقاومة النوعية لتحديد مراكز الشواذ التي توضحت فيها ، وللأمانة اجراء مقارنة في هذه المنطقة . ان عمل مثل هذه الخارطة يساعد في تجميع المعلومات المستحصلة من جميع المسارات للمنطقة المدروسة في وقت واحد عند مقارنتها ، وهي افضل بكثير مما لو درست الشواذ الظاهرة في كل مسار وحده ، وذلك لصعوبة مقارنة النتائج ولتعقيد التفسيرات في مثل هذه الحالة (اي حالة تفسير مقارنة النتائج لكل مسار وحده) .

- تتأثر خارطة مقاومة النوعية الناتجة من المسوحات باتجاه حركة القطب على المسارات . فالمسارات المتوجهة شمال - جنوب تظهر شواذاً معظمها يتوجه شمال - جنوب وكذلك المسارات المتوجهة شرق - غرب تظهر معظم الشواذ فيها بهذا الاتجاه اكتر وضوحاً . وهنا ما يؤكّد على ضرورة اجراء موازنة بين التأثير الناتج من الاتجاهين ، ولربما معالجة ذلك بإجراء قياسات تشكّل زاوية (45) مع اتجاه كل من المسارين السابقين .

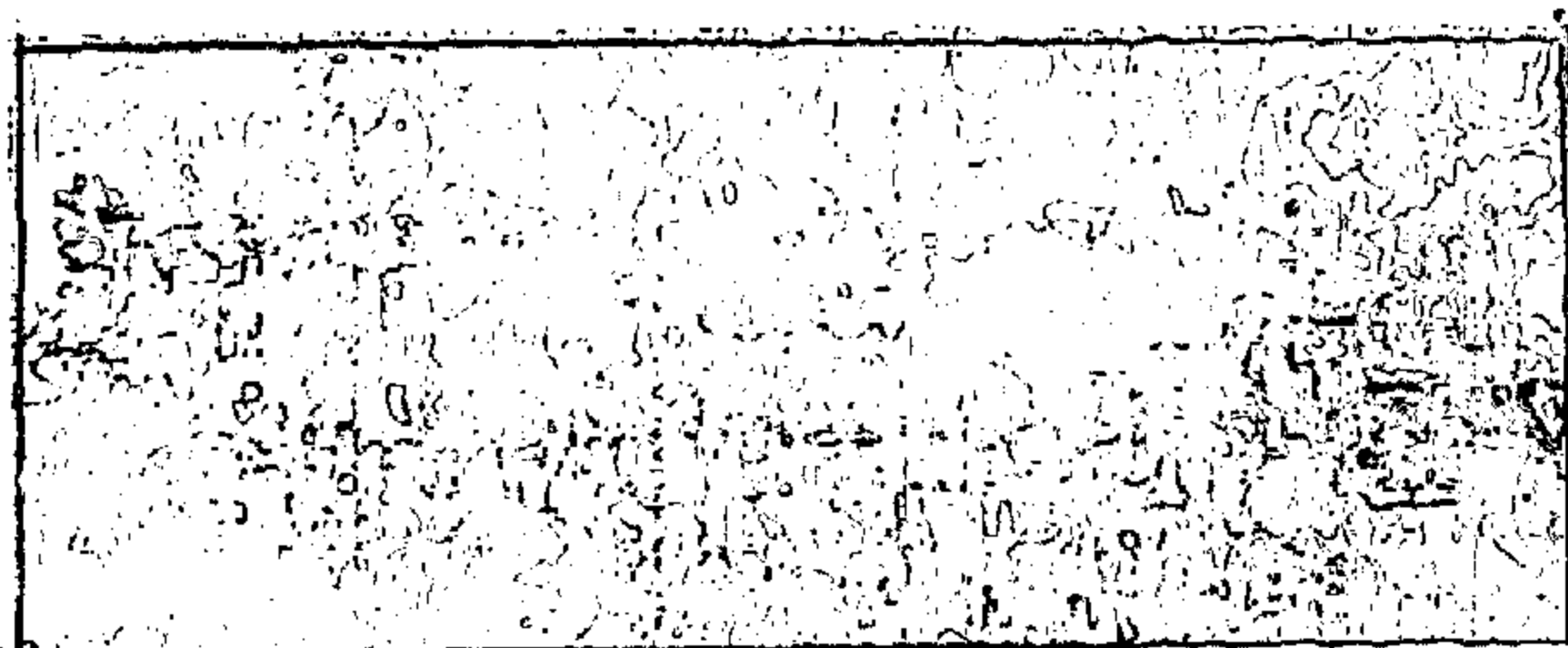
- طبقت طرق تحليل لفصل الشواذ المتبقية من الشواذ الاقليمية ، وقد اظهرت ان تأثير الشواذ المتبقية هي نتيجة للتراكيب الاثرية ، وان الشواذ الاقليمية هي نتيجة التأثيرات الجيولوجية والهيدرولوجية . من تطبيق طريقة كرفن في عزل الشواذ المتبقية عن الشواذ الاقليمية ، وجد بأن الخارطة الناتجة من استعمال الدائرة التي نصف قطرها هي افضل من الخرائط الاخرى الناتجة من استخدام انصاف اقطار على التوالي ، وذلك لاحتواء الخارطة الاقليمية لها على شواذ متبقية اقل من الغارطتين الاخريتين .

- عند تطبيق سلسلة فوري المزدوجة لم تتمكن من فصل الشواذ التي اطوالها الموجية اكتر من ابعاد المنطقة والتالية للشواذ الاقليمية من



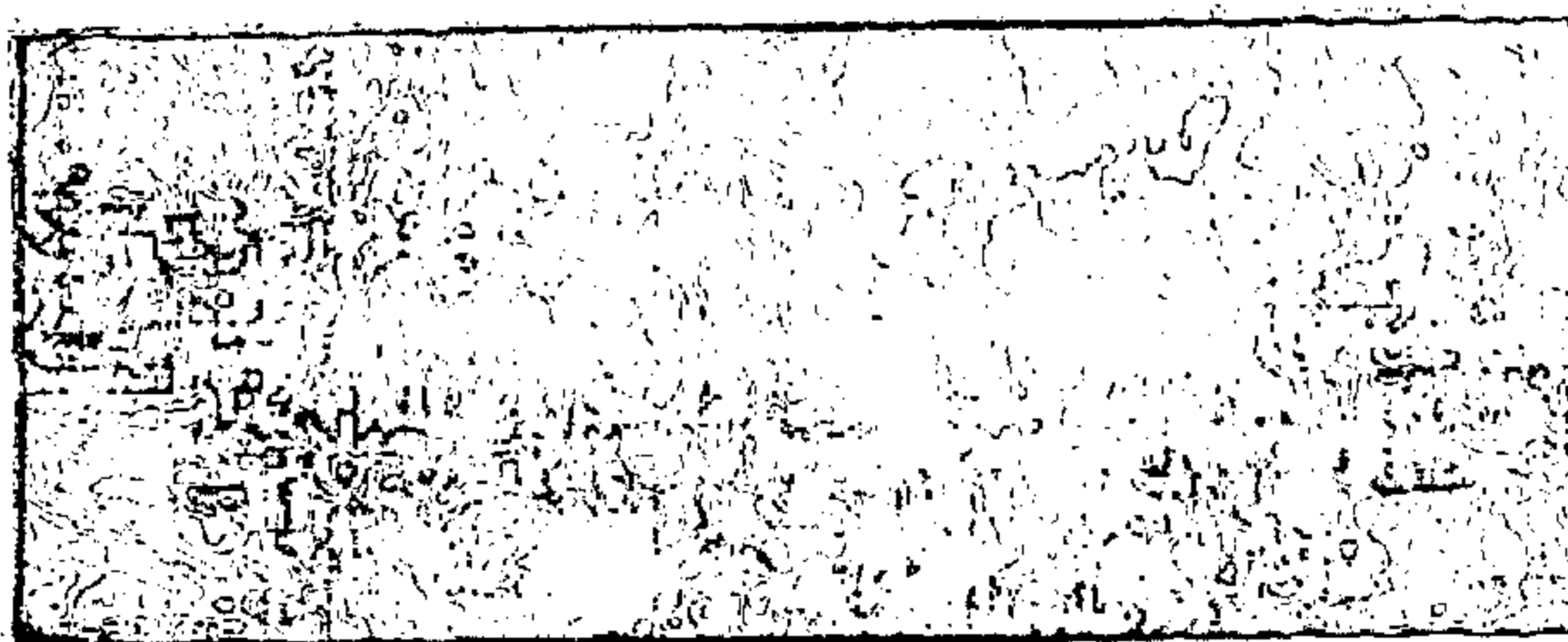
الشكل 22 : السطح التواقي الاول للمنطقة المدروسة

Fig. 22 First harmonic surface for the studied area



الشكل 23 : السطح التواقي الثاني للمنطقة المدروسة

Fig. 23 Second harmonic surface for the Studied area.



الشكل 24 : السطح التواقي الثالث للمنطقة المدروسة

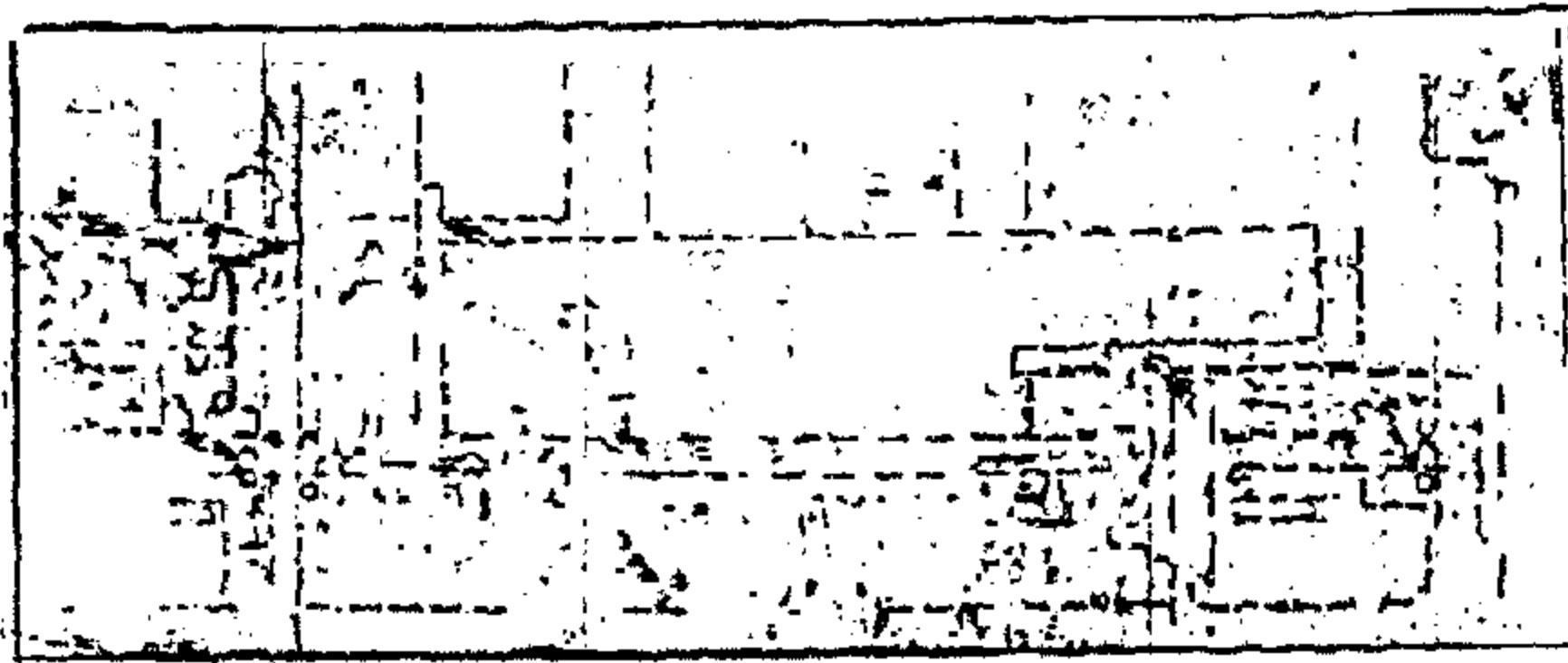
Fig. 24 Third harmonic for the Studied

الخمسة منها تساوي 36.8 % ، 17.7 % ، 51.44 % ، 30.4 % ، 49.2 % مرتبة حسب تسلسلها من (A) الى (E) ، ويمثل سطح فوري في هذه الحالة ادنى حد للاطوال الموجية (8.6) متر باتجاه (جنوبي - شمالي - شمال) و (16.0) متر باتجاه (غرب - شرق) .

ان ما يمكن استخلاصه من عمليات التحليل باستعمال سلسلة فوري المزدوجة هو ان المنطقة المدروسة صغيرة ، لذا فمن المتوقع ان تكون للشواذ المحلية تأثير كبير على طبيعة الخرائط الناتجة ، وهذا مدعا من حساب نسبة الاشتراك للاسطح الاتجاهية (% Contribution) ، التي تشير الى نسبة واطئة جداً لجميع اجزاء الخارطة الخمسة ، وصعوداً الى السطح التواقي الثالث . ولقد اعتمد في التفسير على الشواذ المتبقية من تحليل الاسطح ذات التواقيات الواطئة .

الاستنتاجات

تظهر الشواذ في مقاومة النوعية الكهربائية نهاية لوجود تباين في قيم مقاومة النوعية بين التراكيب الاثرية والتربة المحيطة بها ، ويتأثر



الشكل 25 ، مخطط عام يقترح لنموذج موقعه ممتد من المقاومة النوعية الظاهرة للمنطقة المدروسة .

Fig. 25 General diagram showing the position of the suggested model derived from the apparent resistivity of the studied area.

منطقة سياحية ومقتوحة ، بالإضافة إلى التنقيبات وعمليات الحفر التي ترافقها التي تعرضت لها المنطقة في فترات مختلفة مما يؤثر على طبيعة القراءات الناتجة ، كما أن انتشار قطع مختلفة الأحجام من الطابوق الناتج من الترميمات القائمة حالياً للآثار الموجودة في المنطقة يؤثر أيضاً على طبيعة القراءات .

- ان استعمال هذه الطريقة اعطى تابع مفيدة بالرغم من صعوبة المنطقة لاسباب التي ذكرت سابقاً ، لذا فمن الممكن استعمالها وباستمرار في موقع اثري اخر لم تتعرض الى عمليات حفر وتنقيب سابقة ، وهذه تعتبر نقطة أساسية لضمان الحصول على نتائج جيدة .

- من فوائد هذه الطريقة هو امكانية استعمالها داخل المدن للتنقيب . ولا تتأثر بما موجود من الابنية والاسلاك الكهربائية للمدينة ، كما أن الاجهزة المستعملة لهذه الطريقة هي معظمها اجهزة بسيطة ورخيصة مقارنة بالاجهزة المستعملة في الطرق الأخرى .

الشواذ ذات الاطوال الموجبة الاصغر التابعة للاجسام الاثرية ، عند تطبيقها على القراءات المأخوذة في المنطقة ، ولكنها نجحت في فصل الشواذ التي اطوالها الموجبة ضمن ابعاد المنطقة كأن تكون مساوية لها او نصفها .. الخ .

قيمت قيمة المقاومة النوعية لنماذج من التربة والتي حصلنا عليها من عملية الحفر في موقع مختلف في المنطقة . ووُجد في أحد هذه الواقع التي أعطت قيمة قليلة نسبياً للمقاومة النوعية في المنطقة ، ان التربة عاديّة وخالية تقريباً من مخلفات البناء الموجودة في هذا الموقع ، حيث تم قياس المقاومة النوعية في المختبر ووُجد أنها تتراوح من (6.0) الى (10.0) أوم . متر وعند الحفر في الواقع التي أعطت مقاومة نوعية عالية نسبياً وجد أن ما موجود من طابوق (حجر البناء للجدران) في هذه الواقع يشكل نسبة عالية ، حيث ترافق مع بعضها وتمتد لمسافات كبيرة من السطح وعلى عمق أكثر من متر وهي ناتجة عن هدم للجدار مما أدى إلى انتشار مثل هذه المواد (الطابوق) حول موقع الجدار .

تم عمل مخطط للمقاومة النوعية الظاهرة للقيم المستحصلة كما في الشكل (25) والتي من المحتمل أن تعكس بعض التغيرات التركيبية التي كانت موجودة في هذه المنطقة ، كما وتم اجراء الحفر في موقع مختلف كما هو مثبت في الشكل (8) لمعرفة نوعية التربة والتركيب المطمور فيها ، اذ أوضحت النتائج وجود بعض الاشكال الممتدة والتي يمكن أن تكون جزءاً من التراكيب الأصلية أو تتمثل الواقع هذه التراكيب والتي تم اجراء التنقيب الاثاري عليها من قبل الخبراء الاثاريين في المنطقة .

- لقد وجد صعوبة تطبيقية في هذه المنطقة لكونها كانت ولا تزال